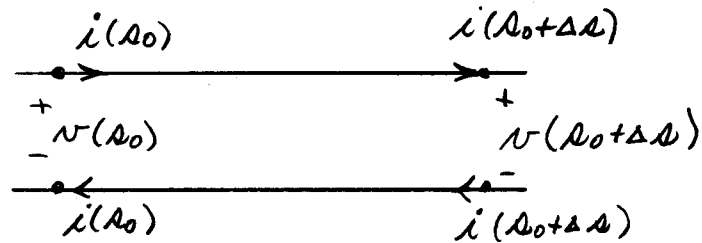


# I Lignes de transmission

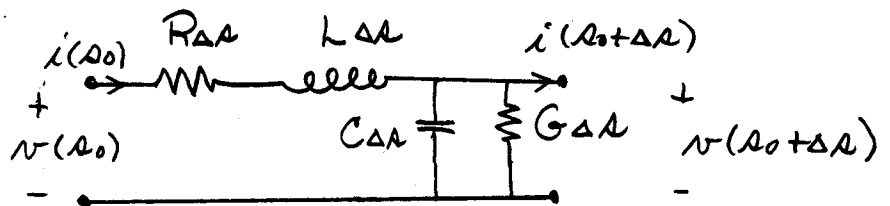
## I.1 Equation d'ondes

- cellule élémentaire :



- quadripôle

- circuit équivalent



$R, L, G, C$ : paramètres linéiques, unités:  $\Omega/\text{m}$ ,  $\text{H}/\text{m}$ ,  $\text{S}/\text{m}$ ,  $\text{F}/\text{m}$

- Loi des mailles:  $V(x₀ + \Delta x) + V_L + V_R = V(x₀)$

ie 
$$\frac{V(x₀ + \Delta x) - V(x₀)}{\Delta x} + R i(x₀) + L \frac{\partial i}{\partial t} \bigg|_{x=x₀} = 0$$

$\Delta x \rightarrow 0$

$$\frac{\partial V}{\partial x} + R i + L \frac{\partial i}{\partial t} = 0 \quad (1)$$

- Loi des noeuds

$$i(x₀ + \Delta x) + i_G + i_C = i(x₀)$$

ie.

$$\frac{i(x₀ + \Delta x) - i(x₀)}{\Delta x} + G V + C \frac{\partial V}{\partial t} = 0$$

$\Delta x \rightarrow 0$

$$\frac{\partial i}{\partial x} + G V + C \frac{\partial V}{\partial t} = 0 \quad (2)$$

" Equations du Télégraphiste "

- Cas idéal: ligne sans pertes ie  $R=0$ ,  $G=0$

Dans ce cas,  $\frac{\partial}{\partial x} (1) - L \frac{\partial}{\partial t} (2)$

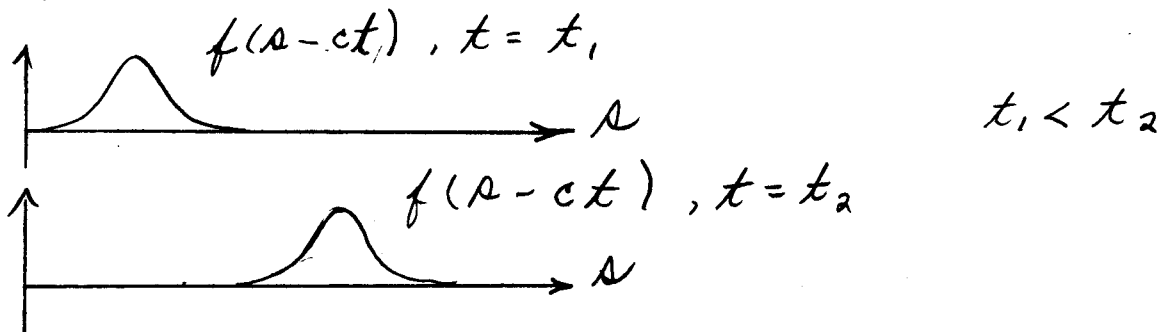
$$\Rightarrow \boxed{\frac{\partial^2 V}{\partial x^2} = \frac{1}{c^2} \frac{\partial^2 V}{\partial t^2} \quad (3), \quad c^2 = 1/LC}$$

"équation d'ondes"

I.2 Solution de l'équation d'ondes

$$\boxed{v = f(x - ct) + g(x + ct) \quad (4)}$$

-  $f$  et  $g$  fonctions arbitraires linéairement indépendantes



Passage du temps  $\rightarrow$  translation de  $c(t_2 - t_1)$  selon  $x$

Vitesse de déplacement?  $f$  invariant si  $(x(t) - ct)$  invariant

$$\frac{\partial}{\partial t} (x(t) - ct) = 0 \rightarrow x(t) - ct = \text{constante}$$

$$\text{vitesse} = \frac{\partial x}{\partial t} = \frac{\partial}{\partial t} (\text{constante} + ct) = c = \frac{1}{\sqrt{LC}}$$

$LC$  dépendant des matériaux et de la géométrie (acétate)

- $g(s+ct)$  ?  $\rightarrow$  même développement  $\rightarrow$  vitesse  $= -c$   
 - signal se propageant en direction  $-s$

### I.3 $i(s, t)$

(4) dans (2), cas sans pertes avec  $G=0$

$$\frac{\partial i}{\partial s} = -C \frac{\partial V}{\partial t} = -C \left( \frac{\partial f}{\partial t} + \frac{\partial g}{\partial t} \right) \\ = -C (-cf' + cg')$$

': dérivée p/n argument

Mais,  $f' = \frac{\partial f}{\partial (s-ct)} = \frac{\partial f}{\partial s}$

$$g' = \frac{\partial g}{\partial (s+ct)} = \frac{\partial g}{\partial s}$$

d'où :  $\frac{\partial i}{\partial s} = -cC \left( -\frac{\partial f}{\partial s} + \frac{\partial g}{\partial s} \right)$

Intégrons p/n à  $s$  :

$$i(s, t) = \frac{C}{\sqrt{LC}} (f(s-ct) - g(s+ct)) \\ = \sqrt{\frac{C}{L}} (f - g) = Y_0(f - g)$$

$$\sqrt{\frac{C}{L}} \triangleq Y_0$$

$Y_0$  : admittance caractéristique de la ligne

- Signal en direction  $+s$  :

$$\frac{V}{i} = \frac{f}{Y_0 f} = Z_0 \equiv \frac{1}{Y_0}$$

; impédance caractéristique

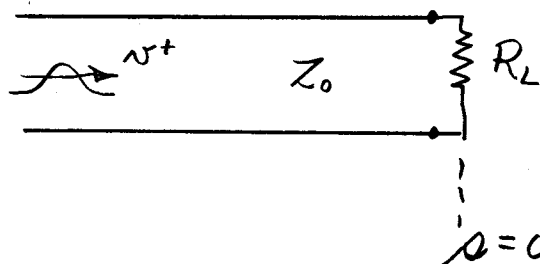
- Signal en direction  $-s$

$$\frac{V}{i} = \frac{g}{-Y_0 g} = -Z_0 = -\frac{1}{Y_0}$$

## I.4 Discontinuités

- solution complète de l'équation d'ondes inclut conditions aux frontières

i) ligne terminée par résistance  $R_L$



- signal incident en direction  $+x$  :  $\begin{cases} \frac{v^+(x,t)}{i^+(x,t)} = Z_0 \end{cases}$

$$\frac{v^+(0,t)}{i^+(0,t)} = Z_0 \neq R_L$$

- solution possible si on ajoute un signal en direction  $-x$

$$v(0,t) = v^+(0,t) + v^-(0,t)$$

$$i(0,t) = i^+(0,t) + i^-(0,t)$$

$$\frac{v(0,t)}{i(0,t)} = R_L \leftarrow \text{condition frontière}$$

$$\text{Rappel: } v^+ = Z_0 i^+ \quad v^- = -Z_0 i^-$$

$$R_L = \frac{v(0,t)}{i(0,t)} = \frac{v^+ + v^-}{(v^+ - v^-)/Z_0}$$

$$\rightarrow \frac{v^-(0,t)}{v^+(0,t)} = \frac{R_L - Z_0}{R_L + Z_0}$$

$\rightarrow$  discontinuité cause signal réfléchi

$$\frac{V^-}{V^+} = \Gamma_V \quad : \quad \text{coefficient de réflexion pour la tension}$$

De même :

$$\frac{i^-}{i^+} = \Gamma_I \quad \left( \frac{i^-}{i^+} = \frac{-V^-}{V^+} = -\Gamma_V \right)$$

$$\Gamma_V = \frac{R_L - Z_0}{R_L + Z_0}$$

$$= \frac{1/G_L - 1/Y_0}{1/G_L + 1/Y_0} = \frac{Y_0 - G_L}{Y_0 + G_L} = +\Gamma_V$$

$$\Gamma_I = \frac{G_L - Y_0}{G_L + Y_0}$$

ii) Cas où  $R_L = Z_0$

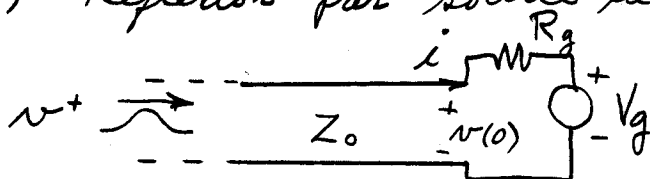
- on dit que la ligne est "adaptée"
- résultat précédent :



$$\Gamma_L = \frac{R_L - Z_0}{R_L + Z_0} = 0$$

$V^- = \Gamma_V V^+ = 0$  : pas de signal réfléchi, tout le signal est absorbé dans la charge  
 aussi  $i^- = -\frac{V^-}{Z_0} = 0$

iii) Réflexion par source de Thévenin



signal incident  $\frac{V^+}{i^+} = Z_0$   $\Gamma = 0$

$$a) \quad \Gamma = 0$$

$$V = V^+ + V^-$$

$$i = i^+ + i^-$$

$$V = V_g + R_g i$$

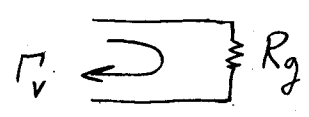
$$V^+ + V^- = V_g + R_g \left( \frac{V^+}{Z_0} - \frac{V^-}{Z_0} \right)$$

$$V^- = V_g \frac{Z_0}{Z_0 + R_g} + V^+ \left( \frac{R_g - Z_0}{R_g + Z_0} \right)$$

formule du diviseur de tension

signal émis par la source

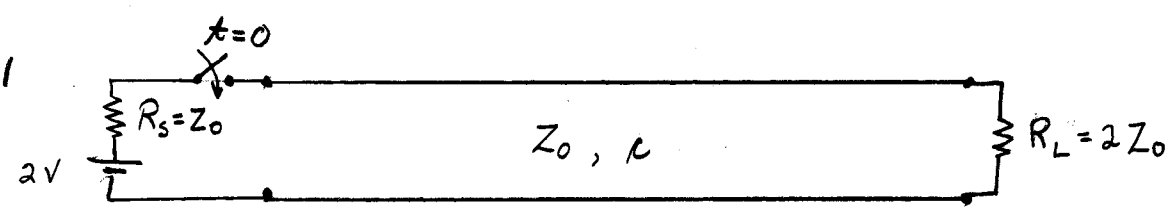
↑ même forme que  $\Gamma_V$   
↑ signal réfléchi par  $R_g$  (si  $\neq Z_0$ )



- Conclusion :
- générateur "voit" charge  $Z_0$  et émet onde
  - $R_g$  : cause réflexion comme charge passive  $R_L$

## I.5 Exemples

I.5.1

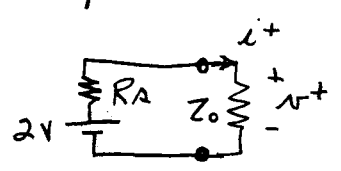


Tension à la source et à la charge en fonction du temps ?

à  $t=0^-$  la ligne est déchargée :  $V(l, 0^-) = 0$

à  $t=0$  on ferme l'interrupteur

à  $t=0^+$   
 $z=0$



$$V^+ = 2V \times \frac{Z_0}{R_A + Z_0} = 1V$$

onde initiale lancée dans la ligne de transmission

$t=T$  :  $V^+$  est réfléchi à  $z=l$

$$\Gamma_L = 1/3$$

$$V^- = V^+ \Gamma_L = 1V \frac{2Z_0 - Z_0}{2Z_0 + Z_0} = 1/3V$$

à  $t = 2T$

$v^-$  est réfléchi à  $\rho = 0$

$v^{++} = v^- \Gamma_s = \frac{1}{3}V \frac{R_s - Z_0}{R_s + Z_0} = 0$  (7)

$\Gamma_s = 0$

Le circuit est stable à partir de  $t = 2T$

$v(x, \rho = d)$  ?

$t < T$  :  $v^+$  pas arrivé,  $v = 0$

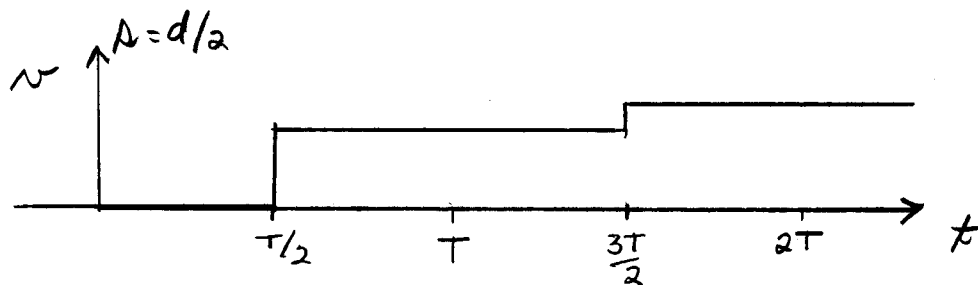
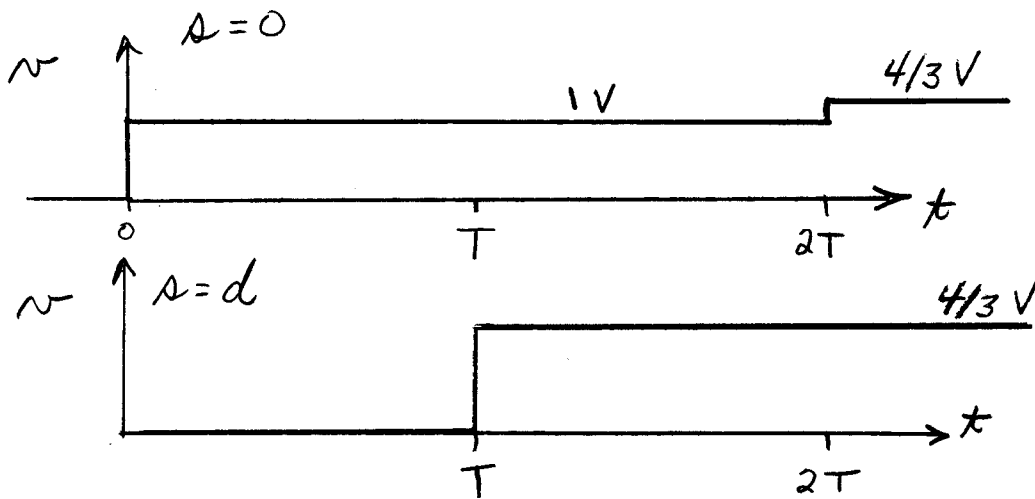
$t > T$  :  $v^+$  arrive et  $v^-$  est créé :  $v = v^+ + v^- = \frac{4}{3}V$

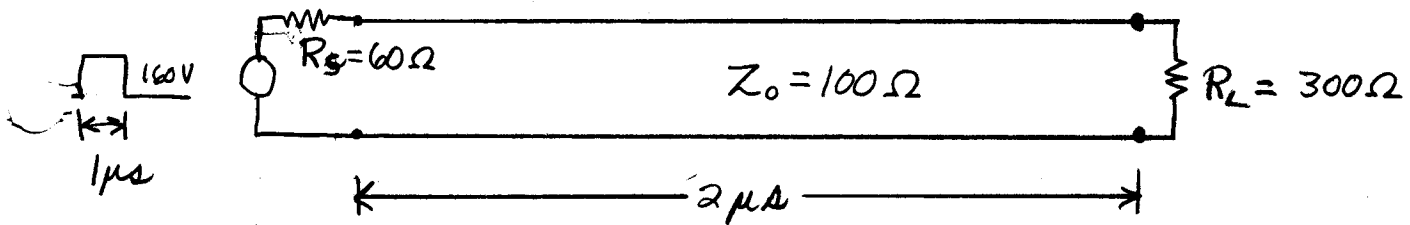
$v(x, \rho = 0)$  ?

$t < 0$  :  $v = 0$

$0 < t < 2T$  : onde  $v^+$  seulement :  $v = v^+ = 1V$

$t \geq 2T$  :  $v^-$  se superpose à  $v^+$   $v = v^+ + v^- = \frac{4}{3}V$

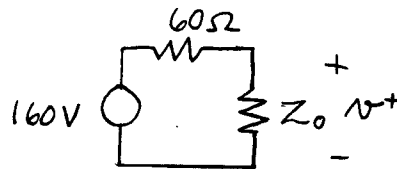




$v(t)$  et  $i(t)$  au milieu de la ligne ?

Solution:

- signal incident



$$v^+ = 160V \times \frac{Z_0}{Z_0 + R_s} = 100V$$

- réflexion de  $v^+$  sur  $R_L$  à  $t = 2\mu s$

$$v^- = \Gamma_L v^+ \quad \Gamma_L = \frac{R_L - Z_0}{R_L + Z_0} = \frac{300 - 100}{300 + 100} = 1/2$$

$$v^- = 1/2 \times 100V = 50V$$

- réflexion de  $v^-$  sur  $R_s$  à  $t = 4\mu s$

$$v^{++} = \Gamma_s v^- \quad \Gamma_s = \frac{R_s - Z_0}{R_s + Z_0} = \frac{60 - 100}{60 + 100} = -1/4$$

$$v^{++} = -1/4 \times 50 = -12.5V$$

- réflexion de  $v^{++}$  sur  $R_L$  à  $t = 6\mu s$

$$v^{--} = \Gamma_L v^{++} = 1/2 \times -12.5 = -6.25V$$

Pour le courant, on divise la tension par  $+Z_0$  ou  $-Z_0$ .

- signal incident  $i^+ = \frac{v^+}{Z_0} = \frac{100V}{100\Omega} = 1A$

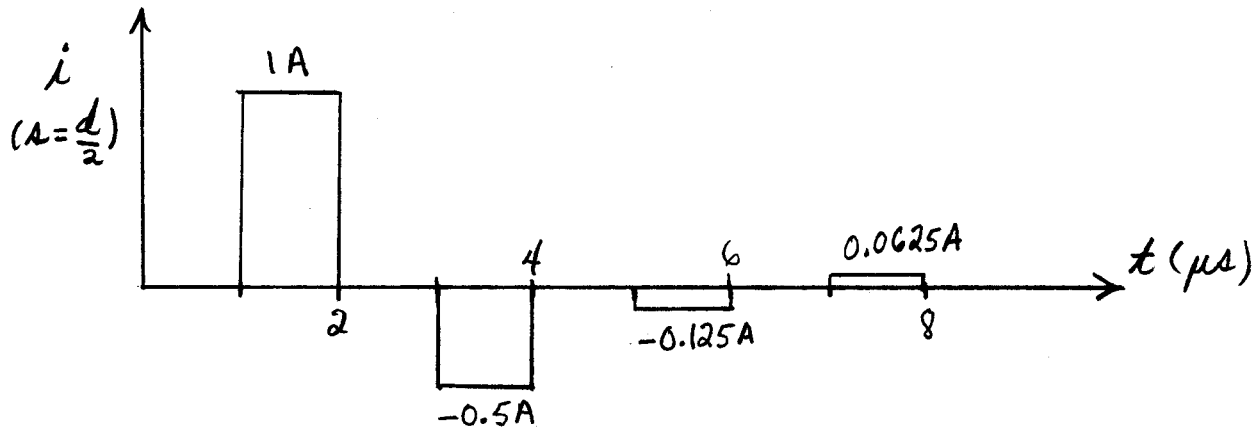
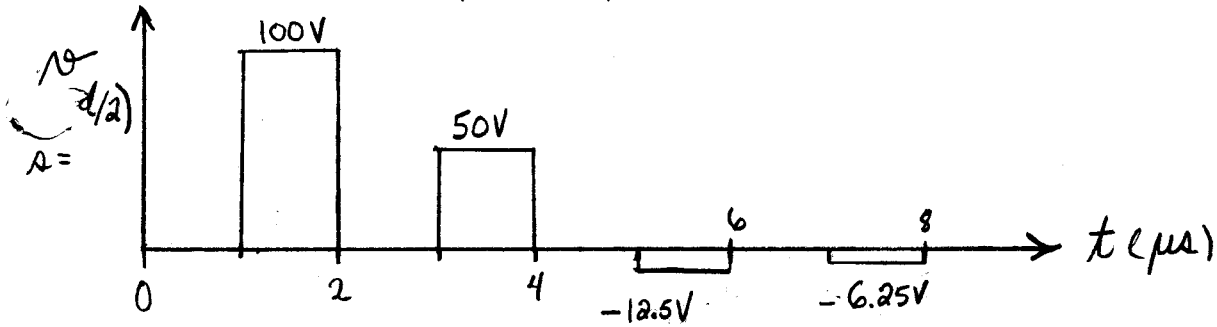
- réflexion sur la charge à  $t = 2\mu s$   $i^- = -\frac{v^-}{Z_0} = -0.5A$

- réflexion sur source à  $t = 4\mu s$   $i^{++} = \frac{v^{++}}{Z_0} = -0.125A$

- réflexion sur charge à  $t = 6\mu s$   $i^{--} = -\frac{v^{--}}{Z_0} = 0.0625A$



Chaque réflexion dure 1  $\mu s$

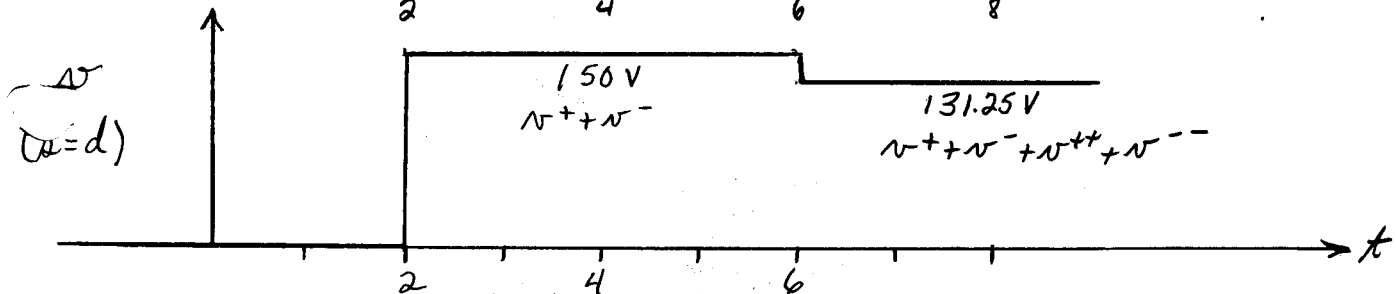
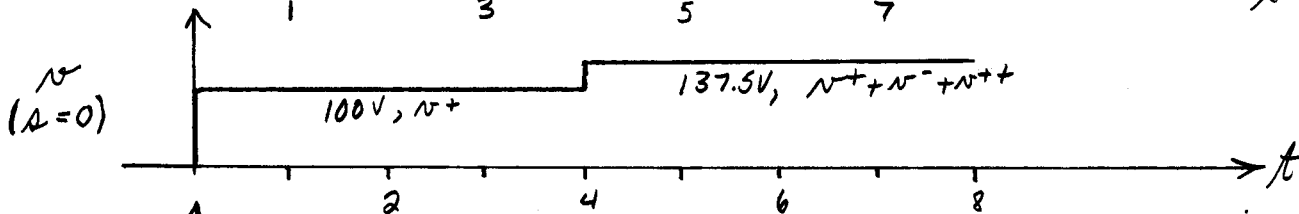
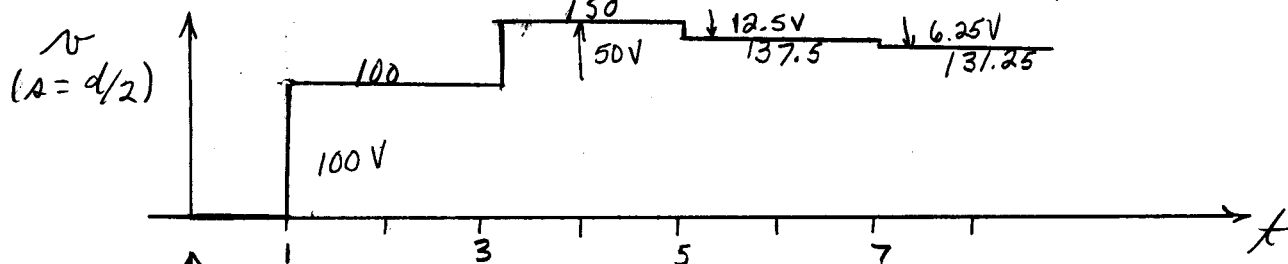


I.5.3

Même exemple que I.5.2 mais la source est de type échelon plutôt que de type pulse

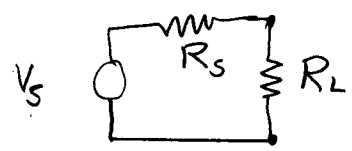
Solution:

- mêmes valeurs d'ondes incidentes et réfléchies sauf qu'il y a superposition des signaux



# Remarques

- le cas est pertinent pour circuits numériques rapides
- à  $t \rightarrow \infty$  l'amplitude des réflexions tend vers 0; l'état final du circuit est obtenu avec le circuit suivant:

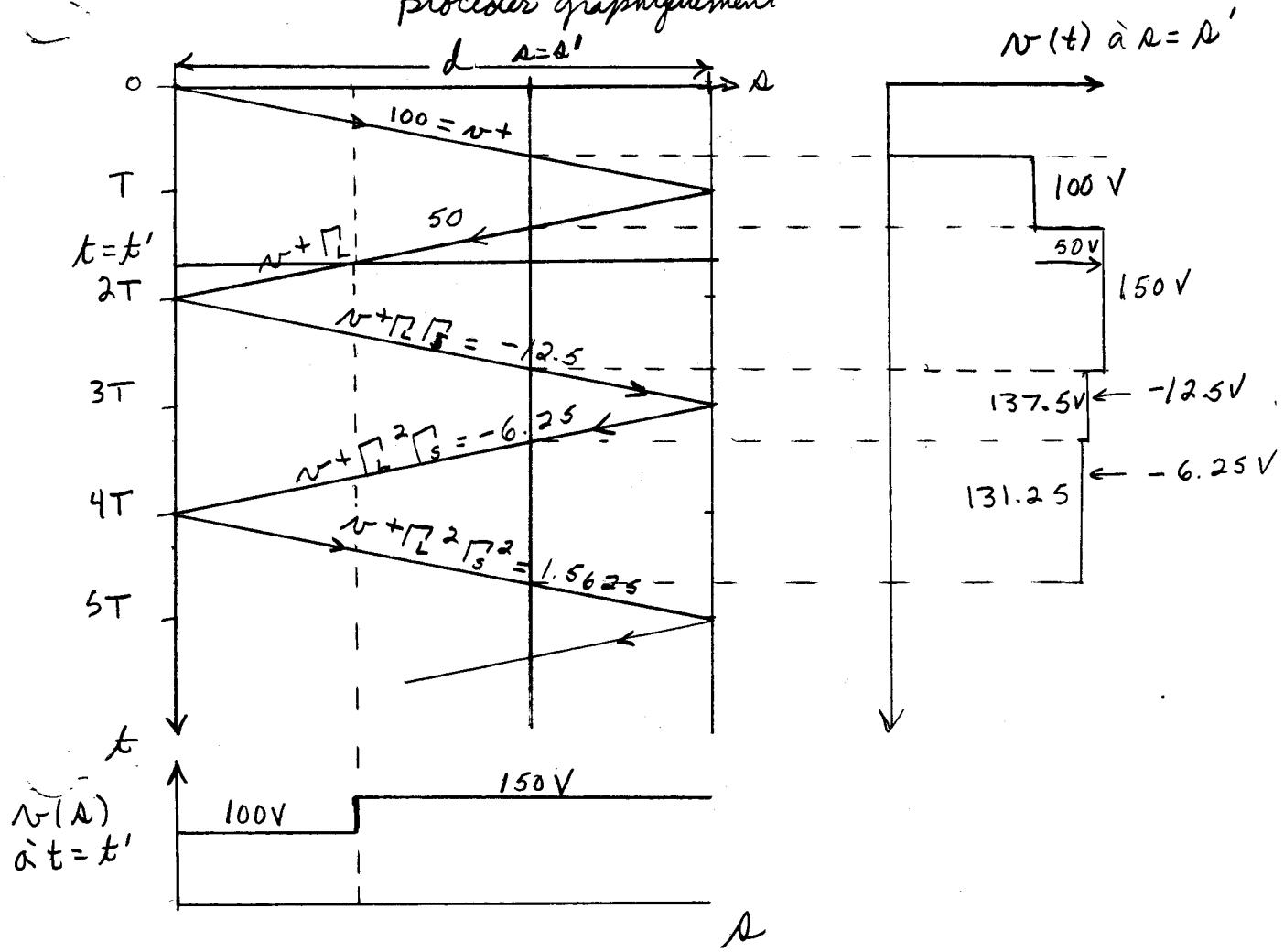


$$v(R, t \rightarrow \infty) = V_s \times \frac{R_L}{R_L + R_s} = 133.3V$$

## I.6 Méthodes graphiques

### I.6.1 Diagramme de rebonds

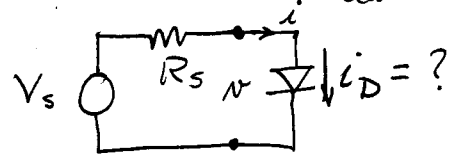
- obtenir onde de tension et onde de courant initiale lancée dans le circuit lors de la transitoire
- calculer les coefficients de réflexion à chaque discontinuité : e.g.  $\Gamma_L = 1/2$   $\Gamma_S = -1/4$
- procéder graphiquement



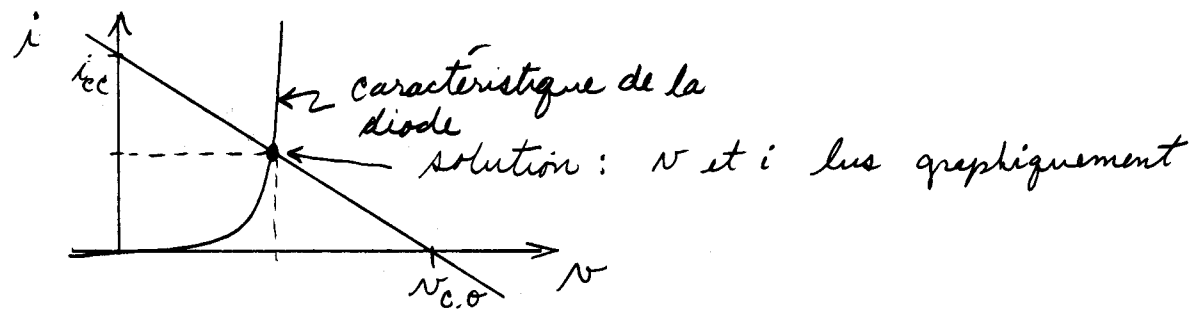
# I.6.2 Méthode de Bergeron

- fonctionne pour sources et charges linéaires ou non linéaires
- inspiré de la méthode de la droite de charge

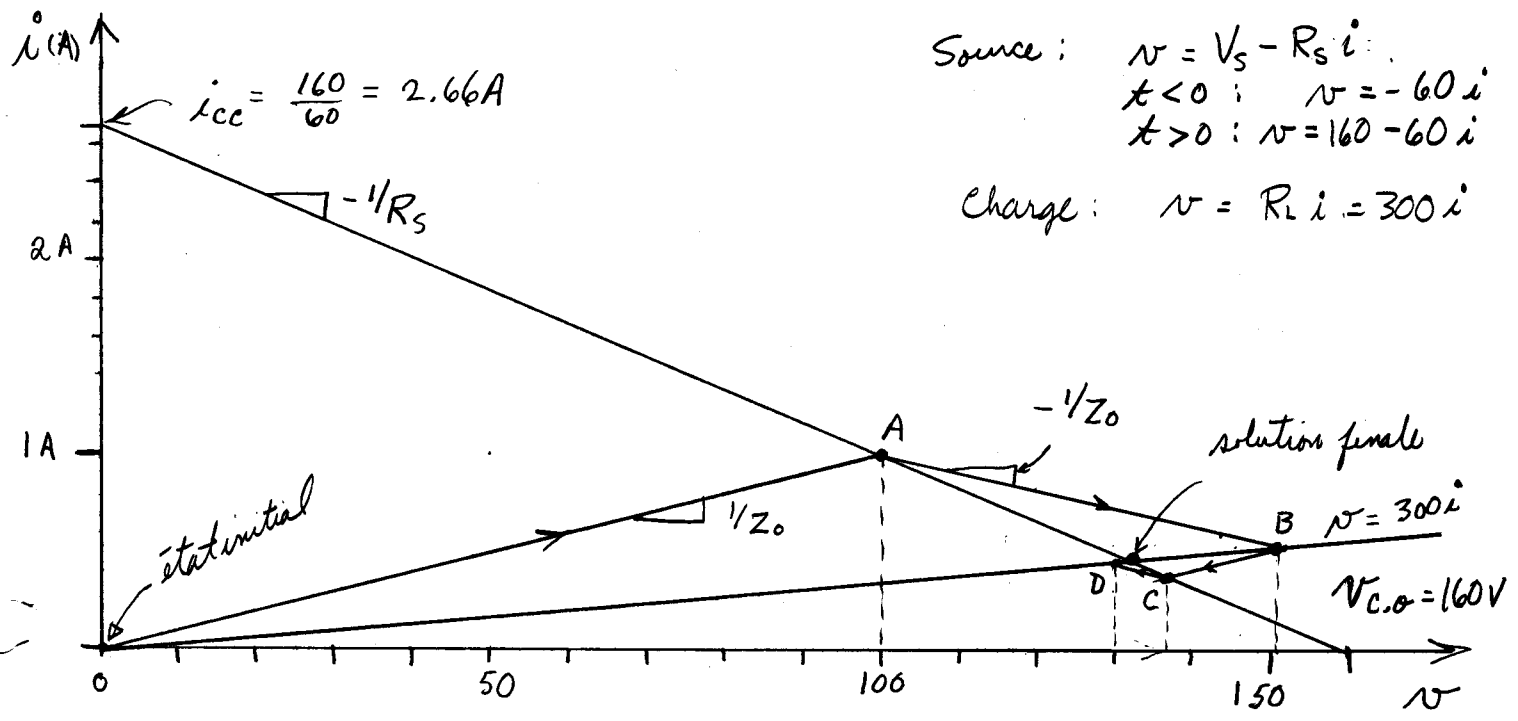
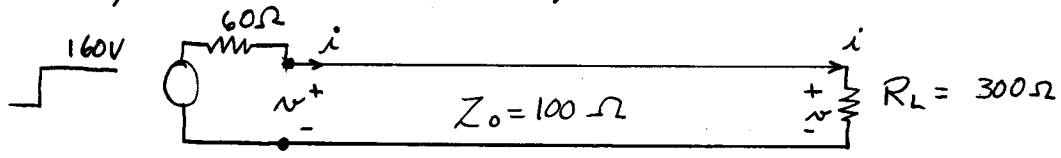
Rappel: Méthode de la droite de charge



Source:  $v = V_s - R_s i$   
→ équation d'une droite  
 $i_{cc} = V_s / R_s$     $v_{c.o} = V_s$



Exemple, même circuit qu'en I.5.3

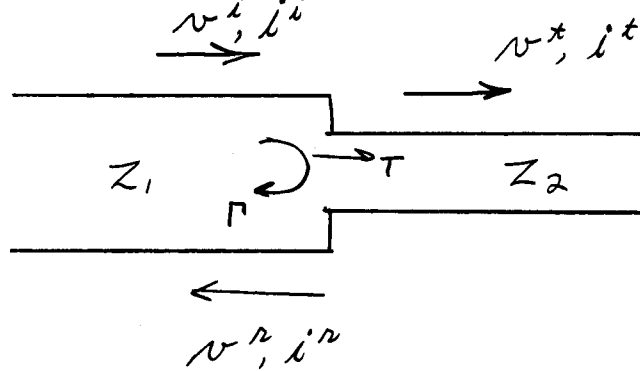


Source:  $v = V_s - R_s i$   
 $t < 0$ :  $v = -60 i$   
 $t > 0$ :  $v = 160 - 60 i$   
Charge:  $v = R_L i = 300 i$



## I.7 Connexion en tandem

- soit une connexion "en tandem" de deux lignes d'impédances différentes
- un signal arrive sur la ligne  $Z_1$  :  $v^i$



- signal réfléchi  $v^r, i^r$
- signal transmis  $v^t, i^t$

À la jonction :

- côté  $Z_1$   $v_1 = v^i + v^r$   $i_1 = i^i + i^r$   
 $v^i/i^i = Z_1$   $v^r/i^r = -Z_1$

- côté  $Z_2$   $v_2 = v^t$   $i_2 = i^t$   
 $v^t/i^t = Z_2$

- lois de Kirchhoff :  $v_1 = v_2$   $i_1 = i_2$

$$v^i + v^r = v^t \quad \div v^i \rightarrow 1 + \frac{v^r}{v^i} = \frac{v^t}{v^i} \quad \frac{v^r}{v^i} \equiv \Gamma \quad \frac{v^t}{v^i} \equiv T$$

$$\boxed{1 + \Gamma = T}$$

$$i_1 = i^i + i^r = \frac{v^i}{Z_1} (1 - \Gamma) ; \quad i_2 = i^t = \frac{v^i T}{Z_2} = \frac{v^t}{Z_2}$$

$$\frac{v^i}{Z_1} (1 - \Gamma) = \frac{v^i T}{Z_2} \rightarrow \frac{Z_2}{Z_1} - 1 = \Gamma \rightarrow \boxed{\Gamma = \frac{Z_2 - Z_1}{Z_2 + Z_1}}$$

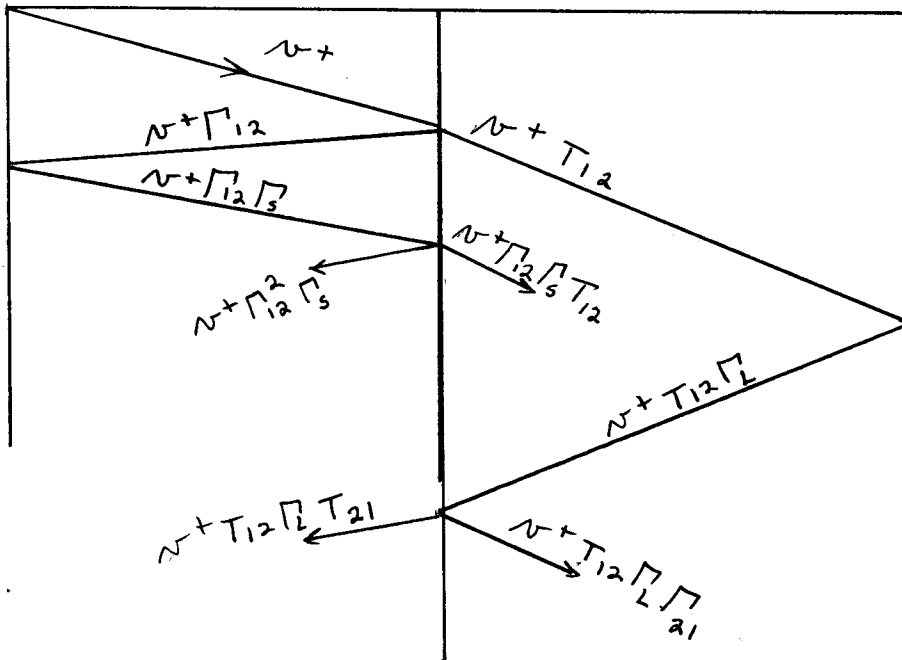
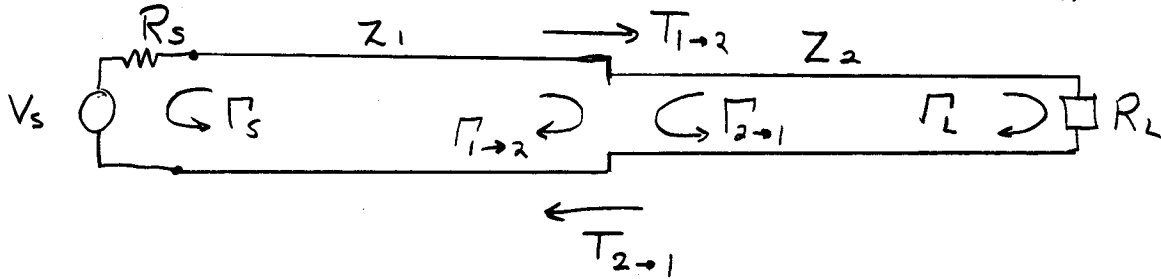
$$\boxed{T = 1 + \Gamma = \frac{2Z_2}{Z_1 + Z_2}}$$

Si le signal incident vient de la ligne 2, on a plutôt

$$\Gamma_{2 \rightarrow 1} = \frac{Z_1 - Z_2}{Z_1 + Z_2}$$

$$T_{2 \rightarrow 1} = \frac{2Z_1}{Z_1 + Z_2}$$

On peut traiter ce cas avec la méthode du diagramme de rebonds



NB: prendre compte des temps de parcours différents sur les deux lignes

## I.8 Signes avec pertes

- pertes causent distorsion du signal à cause de réponse en fréquence non constante des éléments  $R$  et  $L$  ou  $G$  et  $C$
- On cherche une solution sans distorsion; celle-ci pourrait être du type:  $v(x, t) = f(x - ct) e^{-\alpha x}$

$f(x - ct)$ : signal original qui se propage à vitesse  $c$

$e^{-\alpha x}$ : atténuation indépendante du temps

- donc :
- "forme" de  $v(s=s'; t)$  ne change pas avec  $s'$
  - niveau de  $v$  change
  - toute l'information est préservée

Solution possible ?

2 Equations du télégraphiste combinées :

$$\frac{\partial^2 v}{\partial s^2} = LC \frac{\partial^2 v}{\partial t^2} + (RC + LG) \frac{\partial v}{\partial t} + RG v \quad (1)$$

$$\frac{\partial v}{\partial s} = -\alpha e^{-\alpha s} f(s-ct) + e^{-\alpha s} f'(s-ct)$$

$$\frac{\partial^2 v}{\partial s^2} = \alpha^2 e^{-\alpha s} f(s-ct) - \alpha e^{-\alpha s} f' - \alpha e^{-\alpha s} f' + e^{-\alpha s} f'' \quad (2)$$

On peut voir que pour la forme de solution proposée nous avons :

$$\frac{\partial^2 v}{\partial t^2} = e^{-\alpha s} f'' c^2$$

$$\frac{\partial v}{\partial t} = -e^{-\alpha s} f' c$$

donc en combinant (1) et (2) puis en regroupant les termes du même ordre, on arrive à :

$$f'' : \quad 1 = LC c^2 \quad \rightarrow \quad c = 1/\sqrt{LC} \quad (3)$$

$$f' : \quad \frac{2\alpha}{c} = RC + LG \quad (4) \quad \text{vitesse de propagation}$$

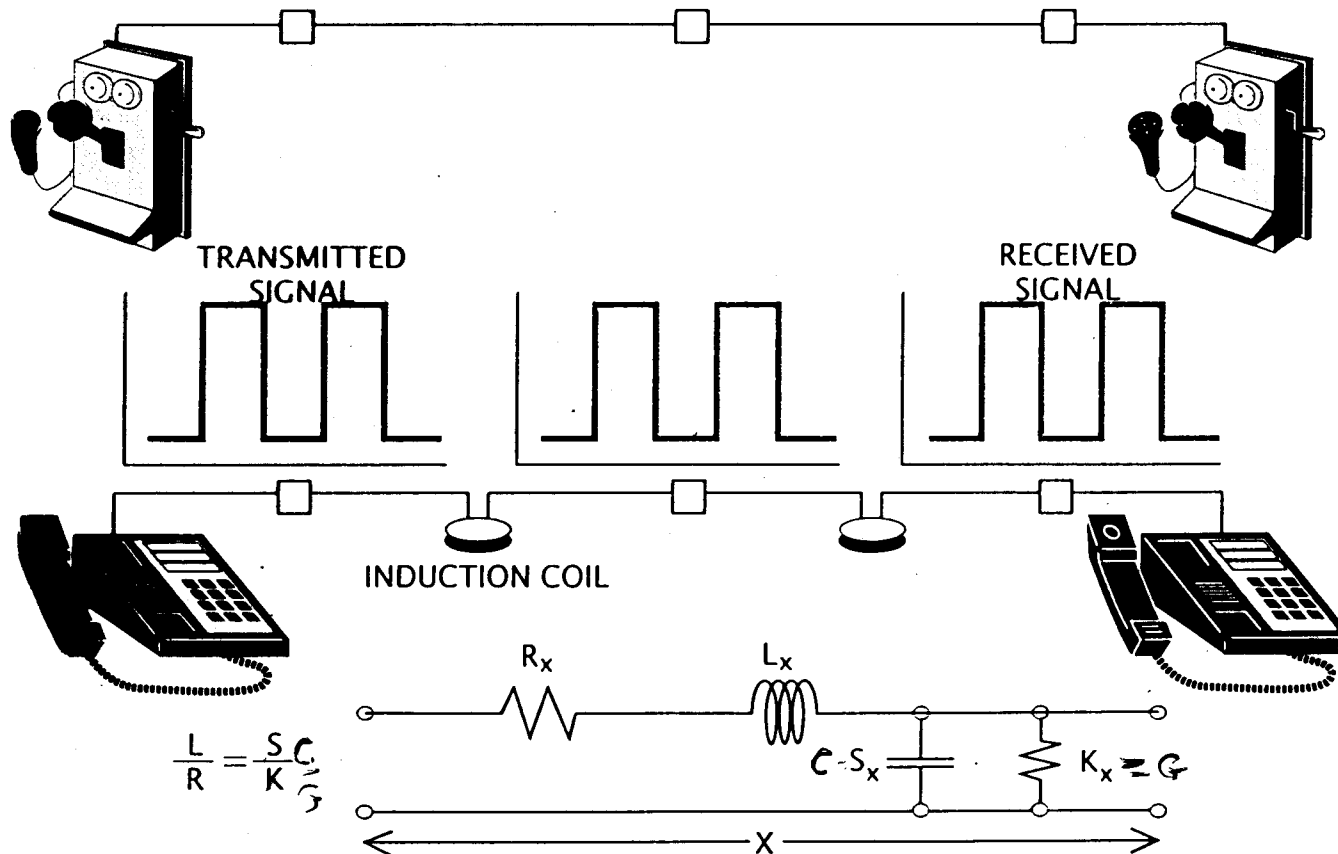
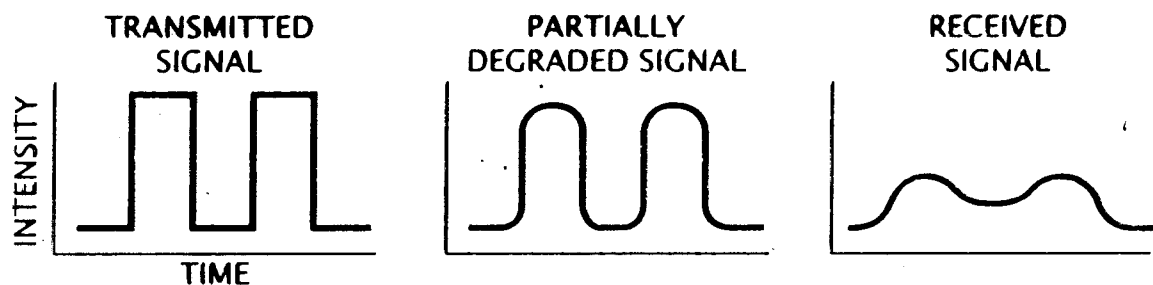
$$f : \quad \alpha^2 = RG \quad \rightarrow \quad \alpha = \sqrt{RG} \quad (5) \quad \text{constante d'atténuation}$$

Combinant (3), (4) et (5) on arrive à

$$\boxed{RC = LG}^* \quad \leftarrow \text{condition de Heaviside pour propagation sans distorsion}$$

- on augmente  $L$  avec éléments discrets pour satisfaire la condition.

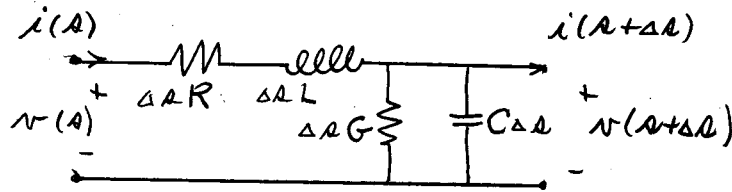
\* ou  $\frac{R}{\omega L} = \frac{G}{\omega C}$  si signal harmonique; ie  $Q_{\text{serie}} = Q_{\text{shunt}}$



**DISTORTION** destroys a signal by causing its higher-frequency components to outpace its lower-frequency ones, turning a sharp pulse into a blur (*top*). Distortionless transmission (*middle*) incorporates induction loading to balance the equation (*bottom, with circuit diagram*) of inductance  $L$ , linear resistance  $R$ , capacitance  $S$  and leakage resistance  $K$ , caused by leakage between a circuit's forward and return legs.



# I.9 Equation d'ondes en régime fréquentiel



Rappel:

$$\frac{\partial v}{\partial s} + R i + L \frac{\partial i}{\partial t} = 0 \quad (1)$$

$$\frac{\partial i}{\partial s} + G v + C \frac{\partial v}{\partial t} = 0 \quad (2)$$

- On excite le circuit avec un signal sinusoïdal à une fréquence

$$f = \frac{\omega}{2\pi}$$

- le circuit atteint le régime permanent

- on utilise une notation de type phasor:  $v = \text{Re}\{V e^{j\omega t}\}$   
 $i = \text{Re}\{I e^{j\omega t}\}$

Dans (1) et (2) ---  $\frac{\partial}{\partial t} = j\omega$   
 $\frac{\partial}{\partial s} \rightarrow \frac{d}{ds}$

$$\frac{dV}{ds} + (R + j\omega L) I = 0$$

$$\frac{dI}{ds} + (G + j\omega C) V = 0$$

$$\frac{d^2 V}{ds^2} - (R + j\omega L)(G + j\omega C) V = 0$$

Posons

$$\gamma^2 = (R + j\omega L)(G + j\omega C)$$

$$\frac{d^2 V}{ds^2} - \gamma^2 V = 0$$

Remarque:  $(R + j\omega L)$  et  $(G + j\omega C)$  sont dans 1<sup>er</sup> quadrant ( $R, L, G, C \geq 0$ )

→  $\gamma^2$  dans 1<sup>er</sup> ou 2<sup>e</sup> quadrant

→  $\gamma$  dans 1<sup>er</sup> ou 3<sup>e</sup> quadrant

→  $\text{Re}\{\gamma\}$  et  $\text{Im}\{\gamma\}$  ont le même signe

$$V(x, \omega) = A e^{-\gamma(\omega)x} + B e^{\gamma(\omega)x}$$

- 2 solutions linéairement indépendantes
- A et B : phaseurs constants

Considérons d'abord le 1<sup>er</sup> terme

$$V = A e^{-\gamma x}$$

$$v = \operatorname{Re}\{A e^{-\gamma x} e^{j\omega t}\}$$

$\gamma = \alpha + j\beta$  ; constante de propagation

$\alpha$  : constante d'atténuation (1/m) } ont le même  
 $\beta$  : nombre d'onde (1/m) } signe

$$v = \operatorname{Re}\{ |A| e^{j\theta_A} e^{j\omega t} e^{-\alpha x} e^{-j\beta x} \} = |A| e^{-\alpha x} \cos(\omega t - \beta x + \theta_A)$$

-  $\cos(\omega t - \beta x + \theta_A)$  : périodique selon  $t$  et  $x$

$x$  fixe et  $t$  varie : période  $T$  :  $\omega(t+T) - \omega t = 2\pi \rightarrow T = \frac{2\pi}{\omega} = \frac{1}{f}$

$t$  fixe et  $x$  varie : période  $\lambda$  :  $\beta(x+\lambda) - \beta x = 2\pi \rightarrow \lambda = \frac{2\pi}{\beta}$

- vitesse de déplacement :  $\frac{d}{dt} [\omega t - \beta x + \theta_A] = 0$

$$\rightarrow \omega = \beta \frac{dx}{dt} \rightarrow \frac{dx}{dt} = \frac{\omega}{\beta} = \frac{2\pi f}{2\pi} \lambda$$

$$c = \lambda f$$

$$c = \frac{\omega}{\beta}$$

-  $e^{-\alpha x}$  : le signal s'atténue à mesure que  $x$  augmente

- Si il n'y a pas de pertes :  $R=0$ ,  $G=0$

$$\gamma^2 = -\omega^2 LC \rightarrow \gamma \text{ imaginaire} \quad \gamma = j\beta$$

$$\beta = \omega \sqrt{LC} = \frac{\omega}{c} \quad c = 1/\sqrt{LC}$$

$\alpha = 0$  pas d'atténuation

Terme  $B e^{+\gamma z}$

- même comportement mais propagation et atténuation en direction  $-z$

$$V = \underset{\substack{\uparrow \\ \text{onde en direction} \\ +z}}{A e^{-\gamma z}} + \underset{\substack{\uparrow \\ \text{onde en direction} -z}}{B e^{+\gamma z}}$$

### I.9.2 Courant $I(z, \omega)$

On a que  $\frac{dV}{dz} + (R + j\omega L)I = 0$

$$\begin{aligned} \rightarrow I &= \frac{-1}{R + j\omega L} \left[ -\gamma A e^{-\gamma z} + \gamma B e^{+\gamma z} \right] \\ &= + \frac{\sqrt{(R + j\omega L)(G + j\omega C)}}{(R + j\omega L)} \left[ A e^{-\gamma z} - B e^{+\gamma z} \right] \end{aligned}$$

$$I = \frac{1}{Z_0} \left[ A e^{-\gamma z} - B e^{+\gamma z} \right]$$

$$Z_0 = \sqrt{\frac{R + j\omega L}{G + j\omega C}}$$

NB:  $\frac{V(z)}{I(z)} \neq Z_0$  en général, à moins d'avoir  $B = 0$

### I.9.3 Transport de puissance

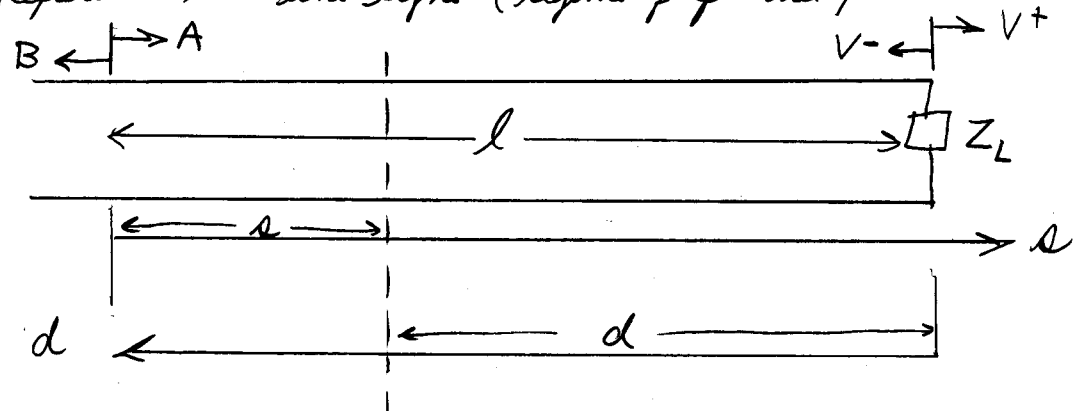
puissance instantanée  $p = v i$

$$\begin{aligned} p &= \operatorname{Re}\{V e^{j\omega t}\} \operatorname{Re}\{I e^{j\omega t}\} = \frac{1}{4} (V e^{j\omega t} + V^* e^{-j\omega t}) (I e^{j\omega t} + I^* e^{-j\omega t}) \\ &= \frac{1}{4} [V I e^{2j\omega t} + V^* I^* e^{-2j\omega t} + V I^* + V^* I] \\ &= \frac{1}{2} \operatorname{Re}\{V I e^{2j\omega t}\} + \frac{1}{2} \operatorname{Re}\{V I^*\} \end{aligned}$$

$\uparrow$   
puissance réactive,  
oscille à  $2\omega$

$\uparrow$   
puissance moyenne constante dans le temps

# I.10 Réflexions sur une ligne (régime fréquentiel)



$$l = s + d \rightarrow s = l - d$$

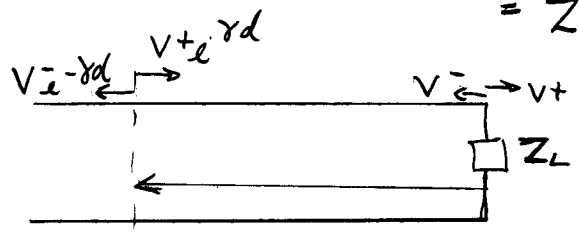
$$\begin{aligned} V &= A e^{-\gamma s} + B e^{+\gamma s} \\ &= A e^{-\gamma l} e^{+\gamma d} + B e^{+\gamma l} e^{-\gamma d} \\ &= V^+ e^{\gamma d} + V^- e^{-\gamma d} \\ V^+ &\equiv A e^{-\gamma l} \quad V^- \equiv B e^{+\gamma l} \end{aligned}$$

$$\begin{aligned} I &= \frac{1}{Z_0} [A e^{-\gamma s} - B e^{+\gamma s}] \\ &= \frac{1}{Z_0} [V^+ e^{\gamma d} - V^- e^{-\gamma d}] \end{aligned}$$

$V^+, V^-$ : ondes incidentes et réfléchies à la charge à  $s = l$  et  $d = 0$

Ainsi, on peut définir  $Z(d)$ , l'impédance à une distance  $d$  de la charge

$$\begin{aligned} Z(d) &= \frac{V(d)}{I(d)} = \frac{V^+ e^{\gamma d} + V^- e^{-\gamma d}}{\frac{1}{Z_0} [V^+ e^{\gamma d} - V^- e^{-\gamma d}]} \\ &= Z_0 \frac{1 + V^-/V^+ e^{-2\gamma d}}{1 - V^-/V^+ e^{-2\gamma d}} \end{aligned}$$



$$\Gamma(d) = \frac{V^- e^{-\gamma d}}{V^+ e^{\gamma d}}$$

$$\Gamma_L = \frac{V^-}{V^+}$$

$$\Gamma(d) = \Gamma_L e^{-2\gamma d}$$

Donc:

$$Z(d) = Z_0 \frac{1 + \Gamma(d)}{1 - \Gamma(d)}$$

$$\Gamma(d) = \frac{Z(d) - Z_0}{Z(d) + Z_0}$$

$$Z(0) = Z_L = Z_0 \frac{1 + \Gamma_L}{1 - \Gamma_L}$$

$$\Gamma_L = \frac{Z_L - Z_0}{Z_L + Z_0}$$

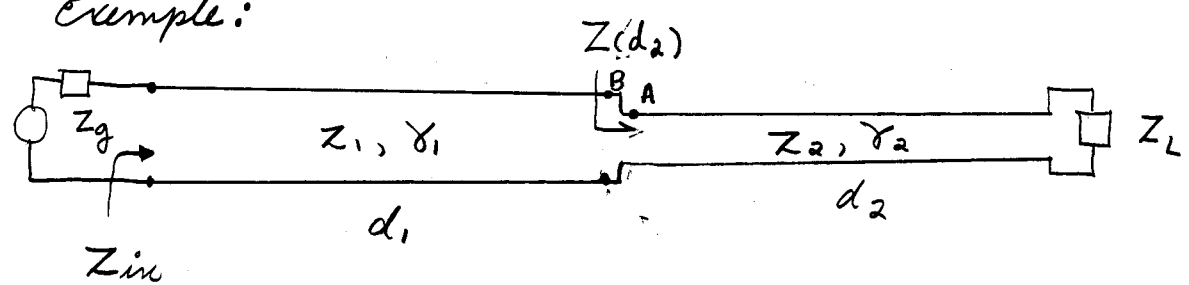
Avec impédances normalisées:

$$z_L = \frac{Z_L}{Z_0} \quad z(d) = \frac{Z(d)}{Z_0}$$

$$z(d) = \frac{1 + \Gamma(d)}{1 - \Gamma(d)} \quad \Gamma(d) = \frac{z(d) - 1}{z(d) + 1}$$

$$z_L = \frac{1 + \Gamma_L}{1 - \Gamma_L} \quad \Gamma_L = \frac{z_L - 1}{z_L + 1}$$

Exemple:



- Trouver  $Z_{in}$
- Trouver  $I^{inc}$  fourni par la source à l'entrée de la ligne 1

Solution:

- On procède de la charge vers la source:  $Z_L$  à  $Z_2$  à  $Z_{in}$

$$\Gamma_L = \frac{Z_L - Z_2}{Z_L + Z_2}$$

$$\Gamma(A) \text{ à la jonction sur ligne 2} \quad \Gamma(A) = \Gamma_L e^{-2\gamma_2 d_2}$$

- NB:
- $\Gamma$  est différent de part et d'autre de la jonction
  - $Z$  est le même de part et d'autre car  $V$  et  $I$  sont continus

$$Z(A) = Z_2 \frac{1 + \Gamma(A)}{1 - \Gamma(A)}$$

$$Z(B) = Z(A)$$

$$\Gamma(B) = \frac{Z(B) - Z_1}{Z(B) + Z_1}$$

$$\Gamma(d_2^+) = \frac{Z(d_2) - Z_2}{Z(d_2) + Z_2}$$

$$\Gamma(d_2^-) = \frac{Z(d_2) - Z_1}{Z(d_2) + Z_1}$$

$$\Gamma_{in} = \Gamma(B) e^{-2\gamma_1 d_1}$$

$$Z_{in} = Z_1 \frac{(1 + \Gamma_{in})}{(1 - \Gamma_{in})}$$

à l'entrée du circuit nous avons donc:

(21)

$$V_{in} = V_g \frac{Z_{in}}{Z_{in} + Z_g} = V^i + V^r \quad I_{in} = \frac{V_g}{Z_{in} + Z_g} = I^i + I^r$$

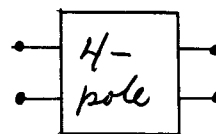
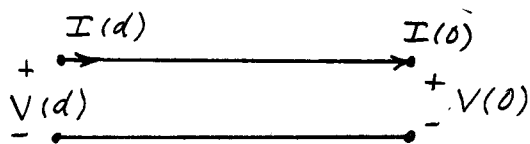
$$I_{in} = Z_1 (I^i - I^r) = V_g / (Z_{in} + Z_g)$$

$$V_{in} = Z_1 (I^i - I^r) = V_g Z_{in} / (Z_{in} + Z_g)$$

2 eqs. 2 inconnues

$$\rightarrow I^i = \frac{V_g}{2Z_1} \frac{Z_1 + Z_{in}}{Z_g + Z_{in}}$$

I.11 Quadripôle équivalent d'une ligne de transmission



Format ABCD est utile pour lignes de transmission

$$\begin{bmatrix} V(d) \\ I(d) \end{bmatrix} = \begin{bmatrix} A & B \\ C & D \end{bmatrix} \begin{bmatrix} V(0) \\ I(0) \end{bmatrix}$$

$$\left. \begin{aligned} V(d) &= V^+ e^{\gamma d} + V^- e^{-\gamma d} \\ I(d) &= \frac{1}{Z_0} [V^+ e^{\gamma d} - V^- e^{-\gamma d}] \end{aligned} \right\} \begin{bmatrix} V(d) \\ I(d) \end{bmatrix} = \begin{bmatrix} e^{\gamma d} & e^{-\gamma d} \\ e^{\gamma d}/Z_0 & -e^{-\gamma d}/Z_0 \end{bmatrix} \begin{bmatrix} V^+ \\ V^- \end{bmatrix}$$

$$\left. \begin{aligned} V(0) &= V^+ + V^- \\ I(0) &= \frac{1}{Z_0} [V^+ - V^-] \end{aligned} \right\} \begin{aligned} V^+ &= \frac{V(0) + I(0) Z_0}{2} \\ V^- &= \frac{V(0) - I(0) Z_0}{2} \end{aligned}$$

$$\rightarrow \begin{bmatrix} 1/2 & Z_0/2 \\ 1/2 & -Z_0/2 \end{bmatrix} \begin{bmatrix} V(0) \\ I(0) \end{bmatrix} = \begin{bmatrix} V^+ \\ V^- \end{bmatrix}$$

En combinant les 2 équations matricielles on arrive à:

$$\begin{bmatrix} V(d) \\ I(d) \end{bmatrix} = \begin{bmatrix} e^{\gamma d} & e^{-\gamma d} \\ \frac{e^{\gamma d}}{Z_0} & -\frac{e^{-\gamma d}}{Z_0} \end{bmatrix} \begin{bmatrix} 1/2 & Z_0/2 \\ 1/2 & -Z_0/2 \end{bmatrix} \begin{bmatrix} V(0) \\ I(0) \end{bmatrix}$$

ie

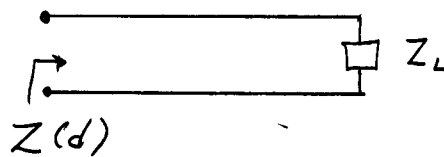
$$\begin{bmatrix} V(d) \\ I(d) \end{bmatrix} = \begin{bmatrix} \cosh \gamma d & Z_0 \sinh \gamma d \\ \frac{1}{Z_0} \sinh \gamma d & \cosh \gamma d \end{bmatrix} \begin{bmatrix} V(0) \\ I(0) \end{bmatrix}$$

On peut utiliser ce résultat pour transformer l'impédance

$$Z(d) = \frac{V(d)}{I(d)} = \frac{\frac{V(0) \cosh \gamma d + I(0) Z_0 \sinh \gamma d}{\frac{V(0) \sinh \gamma d + I(0) \cosh \gamma d}{Z_0}}}{\frac{V(0) \sinh \gamma d + I(0) \cosh \gamma d}{Z_0}} \quad \begin{matrix} \div I(0) \\ \div I(0) \end{matrix}$$

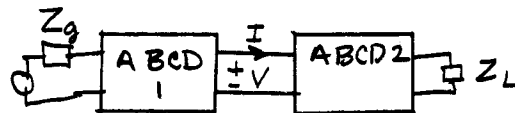
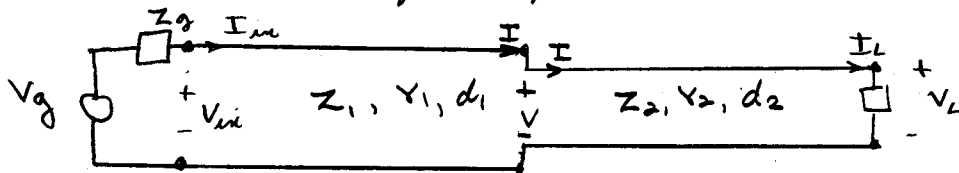
avec  $\frac{V(0)}{I(0)} = Z_L$

$$Z(d) = \frac{Z_L \cosh \gamma d + Z_0 \sinh \gamma d}{\frac{Z_L \sinh \gamma d + \cosh \gamma d}{Z_0}}$$



la ligne agit comme un transformateur d'impédance.

- matrice ABCD utile pour cascader des quadripôles



$$\begin{bmatrix} V_{in} \\ I_{in} \end{bmatrix} = \begin{bmatrix} A_1 & B_1 \\ C_1 & D_1 \end{bmatrix} \begin{bmatrix} A_2 & B_2 \\ C_2 & D_2 \end{bmatrix} \begin{bmatrix} V_L \\ I_L \end{bmatrix}$$

## I.12 Lignes sans pertes

si  $R \ll \omega L$ ,  $G \ll \omega C$  on considère  $R=0$  et  $G=0$

$$\gamma^2 = -\omega^2 LC \quad ; \quad \gamma = \alpha + j\beta \rightarrow \alpha = 0 \quad \beta = \omega \sqrt{LC} = \frac{\omega}{c}$$

$$V(d): \quad V = V^+ e^{j\beta d} + V^- e^{-j\beta d}$$

$$I = \frac{V^+}{Z_0} e^{j\beta d} - \frac{V^-}{Z_0} e^{-j\beta d} \quad , \quad \text{avec } Z_0 = \sqrt{\frac{L}{C}}$$

$$\cosh \gamma d = \cosh(j\beta d) = \cos \beta d$$

$$\sinh \gamma d = \sinh j\beta d = j \sin \beta d$$

$$\begin{bmatrix} V(d) \\ I(d) \end{bmatrix} = \begin{bmatrix} \cos \beta d & j Z_0 \sin \beta d \\ \frac{j}{Z_0} \sin \beta d & \cos \beta d \end{bmatrix} \begin{bmatrix} V(0) \\ I(0) \end{bmatrix}$$

$$Z(d) = \frac{Z_L \cos \beta d + j Z_0 \sin \beta d}{j \frac{Z_L}{Z_0} \sin \beta d + \cos \beta d} = Z_0 \frac{(Z_L + j Z_0 \tan \beta d)}{(j Z_L \tan \beta d + Z_0)}$$

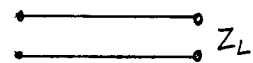
$$z(d) = \frac{Z(d)}{Z_0} = \frac{Z_L + j \tan \beta d}{j Z_L \tan \beta d + 1}$$

$$\Gamma(d) = \Gamma_L e^{-2j\beta d}$$

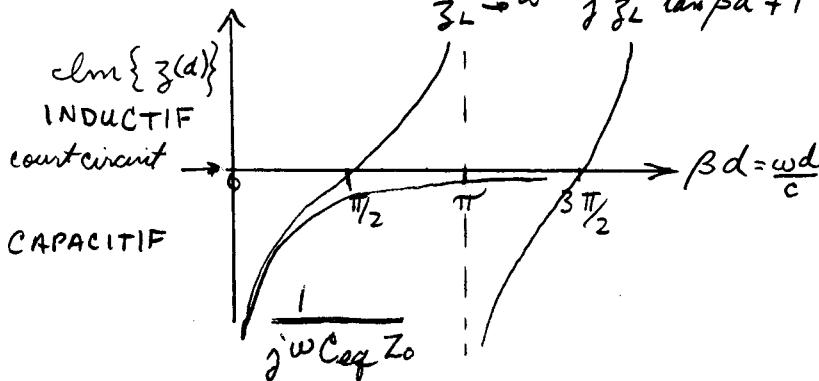
### Cas Particuliers

i) Ligne terminée par un circuit ouvert

$$Z_L \rightarrow \infty \quad I_L = I(0) = 0$$



$$z(d) = \lim_{Z_L \rightarrow \infty} \frac{Z_L + j \tan \beta d}{j Z_L \tan \beta d + 1} = -j \cot(\beta d)$$



Remarque :  
à basse fréquence  $\beta d \rightarrow 0$   
 $\cot \beta d \approx \frac{1}{\beta d}$

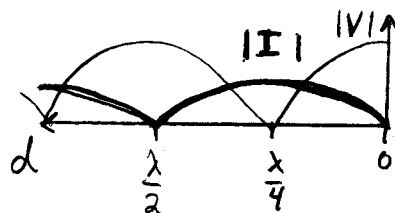
$$Z(d) = Z_0 \frac{-j}{\beta d} = \frac{1}{j \beta d / Z_0}$$

$$= \frac{1}{j \omega \frac{d}{Z_0} C} = \frac{1}{j \omega d C}$$

$$= \frac{1}{j \omega C_{eq}} \quad C_{eq} = d C$$

$$V(d) = V(0) \cos \beta d$$

$$I(d) = j \frac{V(0)}{Z_0} \sin \beta d$$



$$P_{moy} = \frac{1}{2} \operatorname{Re} \{ V I^* \}$$

$$= \frac{1}{2} \operatorname{Re} \{ j |V(0)|^2 \cos \beta d \sin \beta d \} = 0 \quad ; \text{ aucune énergie absorbée par la charge}$$

$$\Gamma(d) = \Gamma_L e^{-2j\beta d}$$

$$\Gamma_L = \frac{Z_L - Z_0}{Z_L + Z_0} = \frac{\infty}{\infty} = 1$$

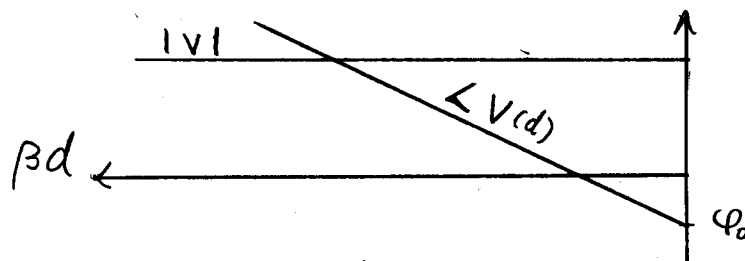


$$|\Gamma(d)| = 1 \quad ; \text{ réflexion totale}$$

ii) Charge résistive  $R_L = Z_0$

$$Z_L(d) = Z_0 \frac{1 + j \tan \beta d}{j \tan \beta d + 1} = Z_0 \quad ; \text{ indépendant de } \beta d$$

$$\begin{aligned} V(d) &= V(0) \cos \beta d + j I(0) Z_0 \sin \beta d & ; V(0) &= R_L I(0) \\ &= V(0) (\cos \beta d + j \sin \beta d) = V(0) e^{j\beta d} & &= Z_0 I(0) \\ &= |V(0)| e^{j(\beta d + \phi_0)} & \phi_0 &= \angle V(0) \end{aligned}$$



$$\Gamma(d) = \Gamma_L e^{-2j\beta d}$$

$$\Gamma_L = \frac{R_L - Z_0}{R_L + Z_0} = 0 \rightarrow \Gamma(d) = 0$$

aucune réflexion

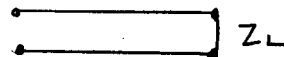
$$I(d) = \frac{1}{Z_0} V(0) \sin \beta d + I(0) \cos \beta d$$

$$= \frac{1}{Z_0} V(0) \sin \beta d + \frac{V(0)}{Z_0} \cos \beta d = \frac{V(0)}{Z_0} e^{j\beta d}, \quad \frac{V}{I} = Z_0 \text{ partout}$$

$$P_{\text{moy}} = \frac{1}{2} \operatorname{Re}\{V I^*\} = \frac{1}{2} \operatorname{Re}\left\{\frac{|V(0)|^2}{Z_0}\right\} = \frac{|V(0)|^2}{2 Z_0}$$

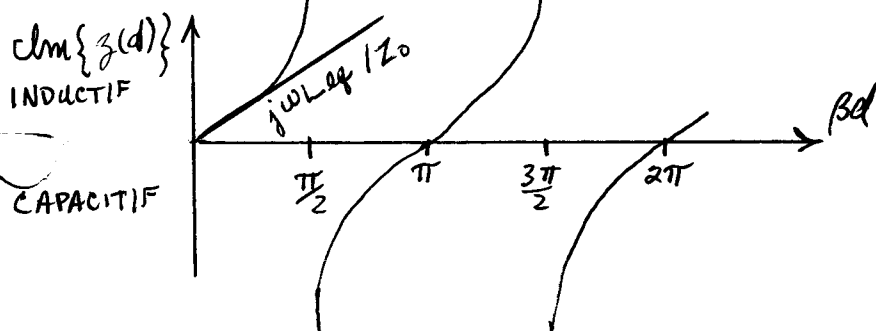
iii) ligne terminée par court circuit

$$V(0) = 0 \quad Z_L = 0$$



$$Z(d) = \frac{0 + j \tan \beta d}{0 + 1}$$

$$Z(d) = j Z_0 \tan \beta d$$

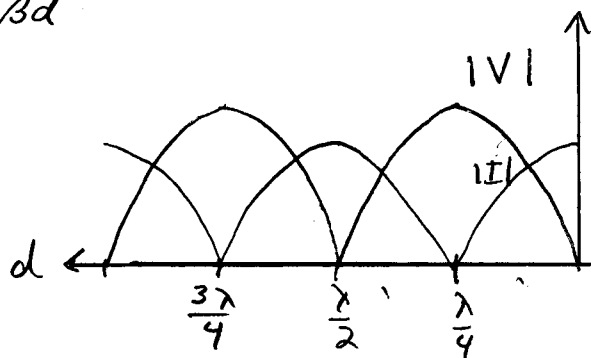


Remarque:  
à basse fréquence  $\beta d \rightarrow 0$   
 $\tan \beta d \approx \beta d$

$$\begin{aligned} Z(d) &\approx Z_0 j \beta d = \sqrt{\frac{L}{C}} j \omega d \\ &= j \omega d \sqrt{\frac{L}{C}} \quad \sqrt{LC} = \hat{L} \\ &= j \omega L_{\text{eq}} \end{aligned}$$

$$V(d) = j Z_0 I(0) \sin \beta d$$

$$I(d) = I(0) \cos \beta d$$



$$P_{\text{moy}} = \frac{1}{2} \operatorname{Re}\{VI^*\} = \frac{1}{2} \operatorname{Re}\{j|I(0)|^2 Z_0 \sin \beta d \cos \beta d\} = 0 \quad \text{aucune énergie absorbée par la charge}$$

$$\Gamma(d) = \Gamma_L e^{-2j\beta d}$$

$$\Gamma_L = \frac{0 - Z_0}{0 + Z_0} = -1$$

$$\Gamma(d) = -e^{-2j\beta d}$$

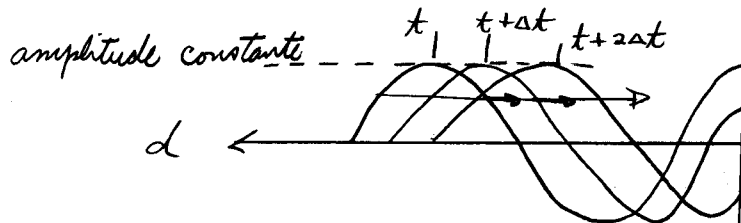
$$|\Gamma(d)| = 1 \quad ; \text{ réflexion totale}$$

### I.12.1 Ondes stationnaires vs ondes progressives

Pour la ligne terminée par  $R_L = Z_0$  on a :

$$V(d) = |V(0)| e^{j(\beta d + \phi_0)}$$

$$v(d, t) = \operatorname{Re}\{V(d) e^{j\omega t}\} = |V(0)| \cos(\omega t + \beta d + \phi_0)$$



onde se déplaçant en direction  $-d$

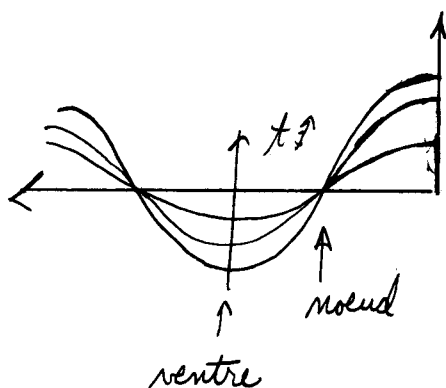
onde progressive

Ligne terminée par circuit ouvert :

$$V(d) = V(0) \cos \beta d$$

$$\begin{aligned} v &= \operatorname{Re}\{V(0) \cos \beta d e^{j\omega t}\} \\ &= |V(0)| \operatorname{Re}\{\cos \beta d e^{j(\omega t + \phi_0)}\} \\ &= |V(0)| \cos \beta d \cos(\omega t + \phi_0) \end{aligned}$$

amplitude dépend de d



## I.13 Lignes à faibles pertes:

en général:

$$Y = \sqrt{(R + j\omega L)(G + j\omega C)}$$

 $Y$  et  $Z_0$  complexes

$$Z_0 = \sqrt{\frac{R + j\omega L}{G + j\omega C}}$$

- Approximation de  $Y$ :

$$Y = \sqrt{j\omega L j\omega C (1 + R/j\omega L)(1 + G/j\omega C)} = j\omega \sqrt{LC} \left(1 + \frac{R}{j\omega L}\right)^{1/2} \left(1 + \frac{G}{j\omega C}\right)^{1/2}$$

$$Y \approx j\omega \sqrt{LC} \left(1 - \frac{jR}{2\omega L}\right) \left(1 - \frac{jG}{2\omega C}\right), \text{ car } \sqrt{1+\epsilon} \approx 1 + \frac{\epsilon}{2}$$

$$= j\omega \sqrt{LC} \left(1 - j\left(\frac{R}{2\omega L} + \frac{G}{2\omega C}\right) - \frac{GR}{4\omega^2 LC}\right)$$

$$\approx j\omega \sqrt{LC} + \frac{\omega \sqrt{LC}}{2} \left(\frac{R}{\omega L} + \frac{G}{\omega C}\right)$$

$$= j\beta + \alpha$$

↑ terme de second ordre négligeable

$$\beta = \omega \sqrt{LC}$$

↑

comme lignes  
sans pertes

$$\alpha = \frac{\sqrt{LC}}{2} \left(\frac{R}{L} + \frac{G}{C}\right)$$

$$\alpha = \frac{1}{2} \left(R\sqrt{\frac{C}{L}} + G\sqrt{\frac{L}{C}}\right) = \frac{1}{2} \left(\frac{R}{Z_0} + \frac{G}{Y_0}\right)$$

- Approximation de  $Z_0$ :

$$Z_0 = \sqrt{\frac{L}{C}} \sqrt{\frac{1 + (R/j\omega L)}{1 + (G/j\omega C)}}$$

$$\frac{1}{1+\epsilon} = 1 - \epsilon + \epsilon^2 - \epsilon^3 \dots$$

$$Z_0 \approx \sqrt{\frac{L}{C}} \left(1 + \frac{R}{2j\omega L}\right) \left(1 - \frac{G}{2j\omega C}\right)$$

$$\sqrt{1-\epsilon} \approx 1 - \frac{\epsilon}{2}$$

$$= \sqrt{\frac{L}{C}} \left(1 + \frac{1}{2j\omega} \left(\frac{R}{L} - \frac{G}{C}\right) + \frac{RG}{4\omega^2 LC}\right)$$

↑ terme de second ordre  
= 0 si ligne sans distorsion (Heaviside)  
≠ 0 en général mais effets s'annulent partiellement

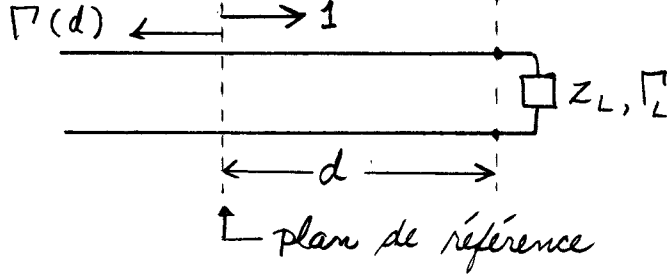
d'où l'on prend

$$Z_0 \approx \sqrt{\frac{L}{C}}$$

comme dans le cas sans pertes

# I.14 Analyse graphique des lignes en régime fréquentiel

considérons une ligne sans pertes :



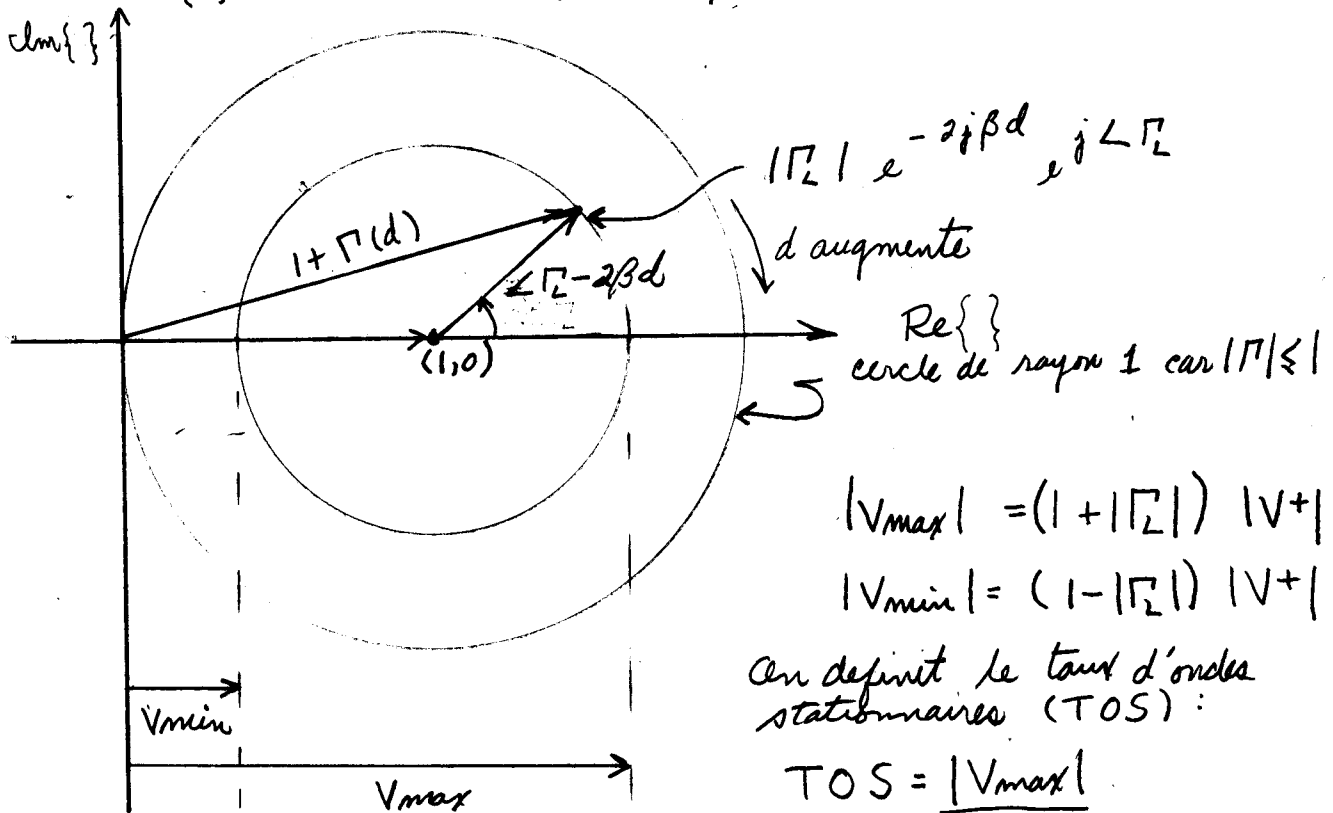
dans le plan de référence :

$$\left. \begin{aligned} V^i &= V^+ e^{+j\beta d} \\ V^r &= V^- e^{-j\beta d} \end{aligned} \right\} \frac{V^r}{V^i} = \Gamma(d)$$

• Difficile de prédire où sont les max. et les min.  $\rightarrow$  normaliser p/r à  $V^+$

$$\begin{aligned} V(d) &= V^+ e^{j\beta d} + V^- e^{-j\beta d} = V^+ e^{j\beta d} \left( 1 + \frac{V^-}{V^+} e^{-2j\beta d} \right) \\ &= V^+ e^{j\beta d} (1 + \Gamma_L e^{-2j\beta d}) = V^+ e^{j\beta d} (1 + \Gamma(d)) \\ &= V^+ e^{j\beta d} \{ 1 + |\Gamma_L| e^{-2j\beta d} e^{j\angle \Gamma_L} \} \end{aligned}$$

Quantité entre  $\{ \}$ , représentée dans plan complexe



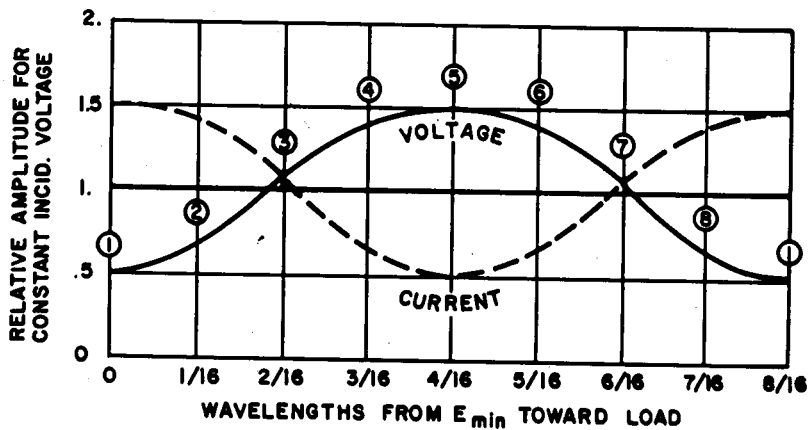
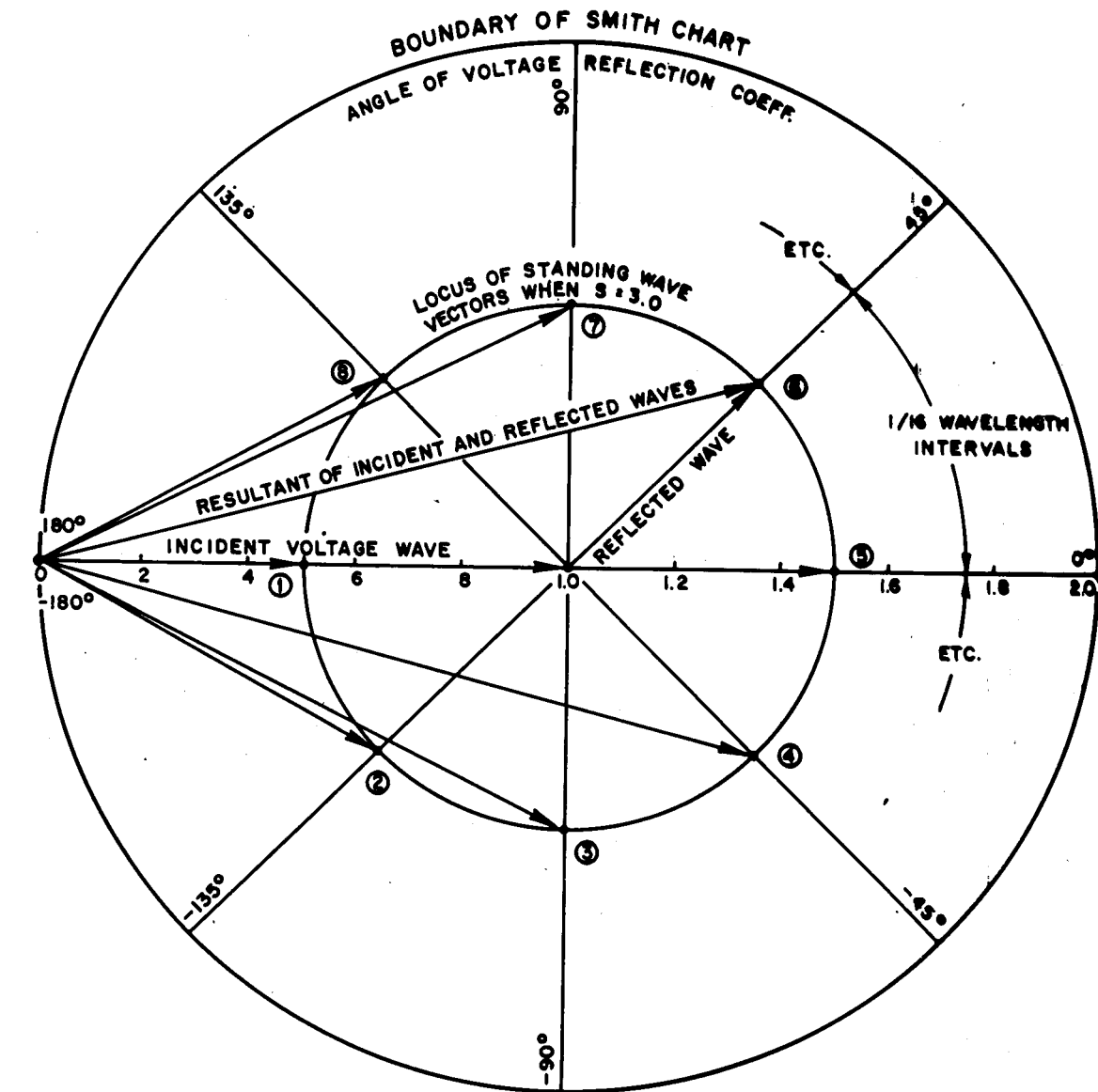
$$|V_{\max}| = (1 + |\Gamma_L|) |V^+|$$

$$|V_{\min}| = (1 - |\Gamma_L|) |V^+|$$

On définit le taux d'ondes stationnaires (TOS) :

$$\text{TOS} = \frac{|V_{\max}|}{|V_{\min}|}$$

$$\text{TOS} = \frac{1 + |\Gamma_L|}{1 - |\Gamma_L|}$$



VOLTAGE VECTOR	AMPLITUDE
0 - ①	0.50
0 - ②	0.66
0 - ③	1.06
0 - ④	1.40
0 - ⑤	1.50
0 - ⑥	1.40
0 - ⑦	1.06
0 - ⑧	0.66

Fig. 1.5 Solution for Prob. 1-1, construction of standing wave shapes.

ou encore

$$TOS = \frac{1 + |\Gamma(d)|}{1 - |\Gamma(d)|}$$

 $TOS \equiv VSWR \equiv S$  (rarement utilisé)

exemple: - ligne terminée par un circuit ouvert:

$$|\Gamma_L| = 1, TOS \rightarrow \infty$$

 - charge adaptée:  $|\Gamma_L| = 0, TOS = 1$ 

 Remarques: - on avait vu que  $Z_L = \frac{1 + \Gamma_L}{1 - \Gamma_L}$ ; donc  $Z_L = TOS$  si  $\Gamma_L$  est réel + if.

- distance entre 2 max consécutifs\* (ou 2 min consécutifs)  
 (\* en amplitude, sans regard à la phase)  
 $\Gamma(d) \propto e^{-2j\beta d} \rightarrow 2\beta d_2 - 2\beta d_1 = 2\pi \rightarrow \frac{4\pi}{\lambda}(d_2 - d_1) = 2\pi$   
 $d_2 - d_1 = \lambda/2$

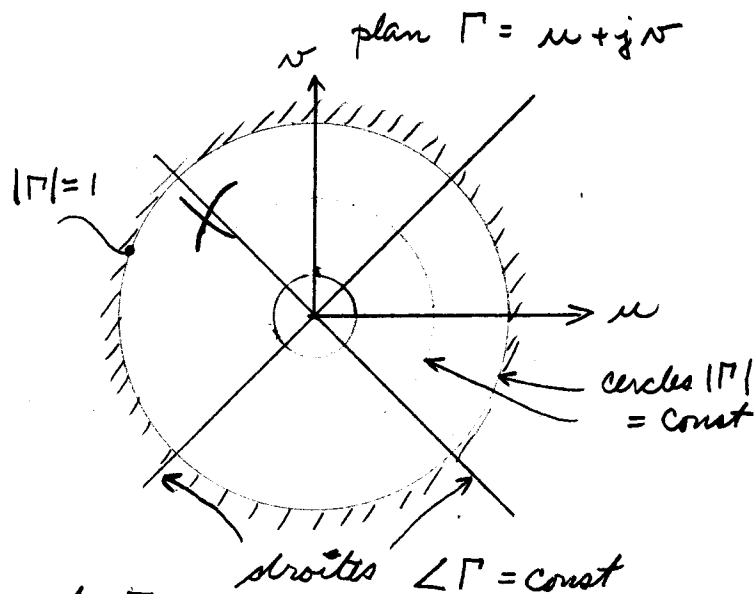
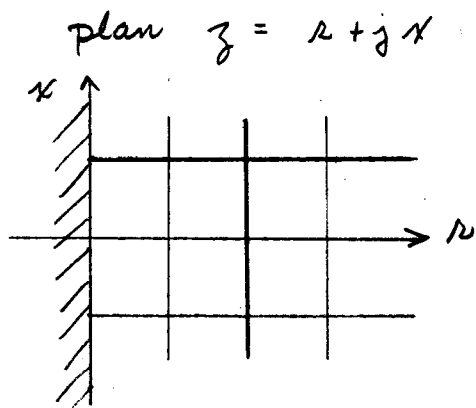
 - distance entre 1 min et 1 max =  $\lambda/4$ 

 - sur un court circuit on obtient graphiquement  $V=0$ 

 - sur un circuit ouvert on obtient  $V = 2V^+$ 

- max de courant correspond à min de tension, et vice-versa

### I.15 L'abaque de Smith


 Transformation du plan  $z$  au plan  $\Gamma$ :

$$\Gamma = \frac{z - 1}{z + 1}$$

 Transformation inverse:  $z = \frac{1 + \Gamma}{1 - \Gamma}$

transformation des droites  $r = cte$  ,  $x = cte$

$$r = \operatorname{Re}\{z\} = \operatorname{Re}\left\{\frac{1 + u + jv}{1 - u - jv}\right\}, \quad x = \operatorname{Im}\{z\} = \operatorname{Im}\left\{\frac{1 + u + jv}{1 - u - jv}\right\}$$



$$(u - r/(1+r))^2 + v^2 = (1/(1+r))^2$$

cercles centrés à  $\Gamma = (\frac{r}{1+r}, 0)$   
et de rayon  $(1/(1+r))$



$$(u-1)^2 + (v - 1/x)^2 = 1/x^2$$

cercles centrés à  $\Gamma = (1, 1/x)$   
et de rayon  $1/x$

- 2 familles de cercles

plan  $z$ : droites  $r = cte$  et  $x = cte$  se coupent à  $90^\circ$

plan  $\Gamma$ : courbes " et " " " à  $90^\circ$   
car transformation conforme

- Voir aréaire avec 2 types de cercle

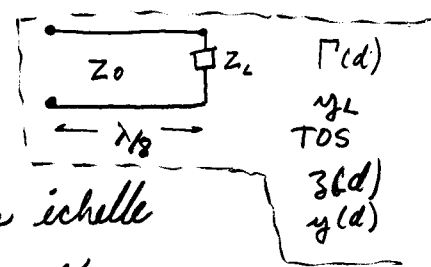
- sur abaque:  $r, x, |\Gamma|$  et  $\angle \Gamma$  sont accessibles

Exemple:  $Z = 80 + j40$  et  $Z_0 = 50$

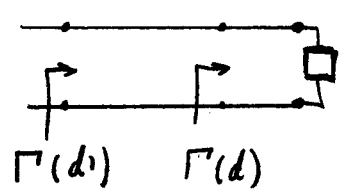
• normaliser:  $z = 1.6 + j0.8$

•  $|\Gamma|$ : avec compas, rapporter sur échelle

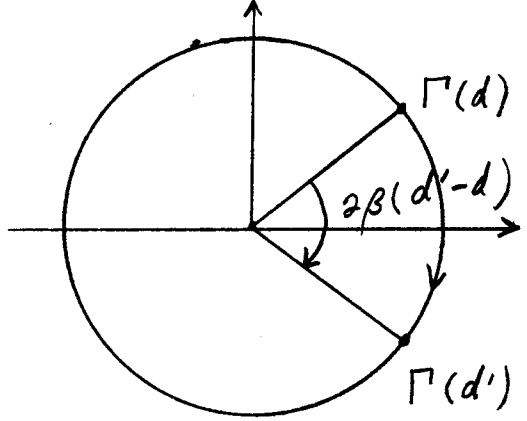
•  $\angle \Gamma$ : lire directement sur bord de l'abaque



### I.15.1 Déplacement du plan de référence



$$\Gamma(d') = \Gamma(d) e^{-2j\beta(d'-d)}$$



vers générateur

- déplacement avec compas  
sur cercle  $|\Gamma| = cte$

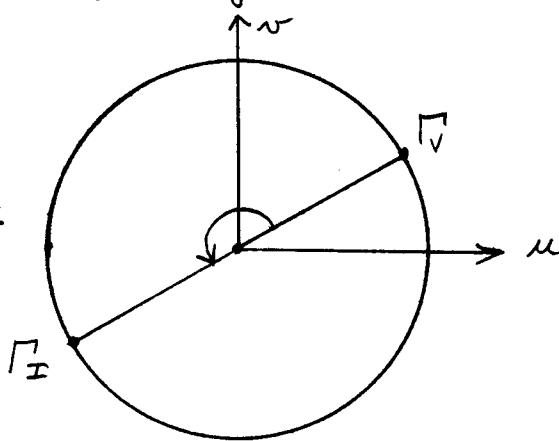
- on peut lire  $z(d)$  et  $z(d')$  sans calculer

I. 15.2 Transformation de  $z$  à  $y$ on sait que  $\Gamma_I = -\Gamma_V$ 

ou  $\Gamma_I = \Gamma_V e^{\pm j\pi}$

$$\Gamma_V = \frac{z-1}{z+1} = \frac{1/y-1}{1/y+1} \times \frac{y}{y} = \frac{1-y}{y+1}$$

$$y \equiv Y/X_0 = 1/z$$
$$\Gamma_I = -\Gamma_V = \frac{y-1}{y+1}$$



Transformation de  $y$  à  $\Gamma_I$  est exactement la même que la transformation de  $z$  à  $\Gamma_V$

Donc, pour lire  $y$  sur l'abaque :

- $z \rightarrow \Gamma_V$  (mettre point  $z$  sur l'abaque)
- $\Gamma_V \rightarrow \Gamma_I$  (rotation  $180^\circ$  sur l'abaque)
- $\Gamma_I \rightarrow y$  (transfo inverse, lire  $y$  directement sur l'abaque)

NB:  $\Gamma_I = -\Gamma_V$  ne veut pas dire  $z = -y$

- au centre de l'abaque  $z=1$ ,  $y=1$ , rotation n'a pas d'effet.

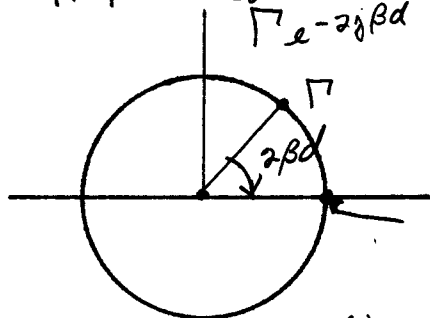
## I. 15.3 Lecture du TOS

$$TOS = \frac{1+|\Gamma|}{1-|\Gamma|}$$

$$z = \frac{1+\Gamma}{1-\Gamma}$$

$$z = TOS \text{ si } \Gamma \text{ réel +if}$$

- $z \rightarrow \Gamma$  (mettre point  $z$  sur l'abaque)
- $\Gamma \rightarrow |\Gamma|$  tourner sur cercle  $|\Gamma| = \text{cte}$  pour avoir  $\Gamma e^{-2j\beta d}$  réel positif



$$\Gamma e^{-2j\beta d} = |\Gamma|$$

- $z \rightarrow TOS$  - lire  $z$ ,  $\text{Re}\{z\} = TOS$   $\text{Im}\{z\} = 0$



Autre approche:

- mesurer  $\Gamma$  pt.  $z$
- mesurer  $|\Gamma|$  avec compas
- reporter sur échelle SWR ou VSWR

(31)

## I.15.4 Périodicité

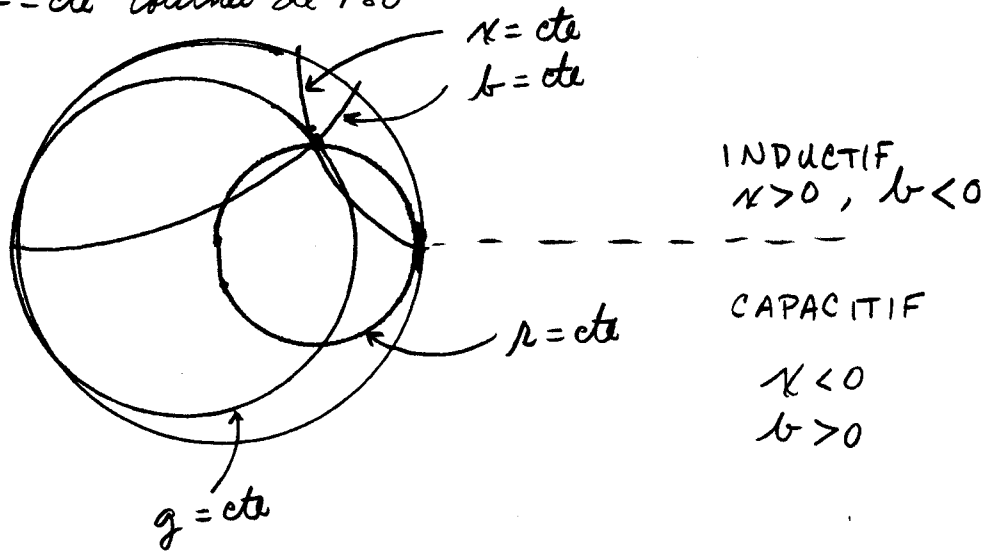
$$\left. \begin{aligned} z(d) &= \frac{z_L + j \tan \beta d}{j z_L \tan \beta d + 1} \\ \Gamma(d) &= \Gamma_L e^{-2j\beta d} \end{aligned} \right\} \text{ périodiques en } \beta d, \text{ période} = \pi$$

$$\Delta \beta d = \pi \rightarrow \Delta d = \frac{\lambda}{2}$$

$\lambda/2 = 1$  tour sur l'abaque ; retrouve  $\hat{m} z$  et  $\Gamma$  à tous les  $\lambda/2$  sur la ligne

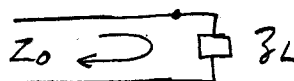
## I.15.5 Abaque en $y$ et $z$ $y = g + jb$

Au lieu de faire une rotation de  $180^\circ$  pour trouver  $y$ , on ajoute un groupe de courbes de niveau  $g = \text{cte}$  et  $b = \text{cte}$  tournées de  $180^\circ$



## I.16 Circuits d'adaptation

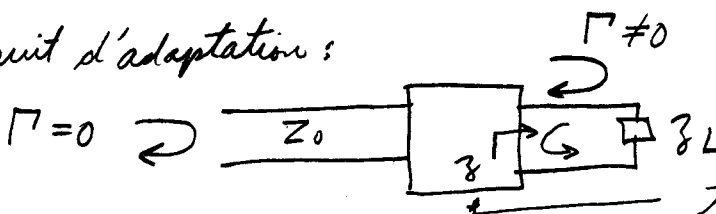
But :



$$Z_L \neq 1 \rightarrow \Gamma \neq 0$$

- partie de l'énergie retourne vers la source : perte de retour

avec circuit d'adaptation :

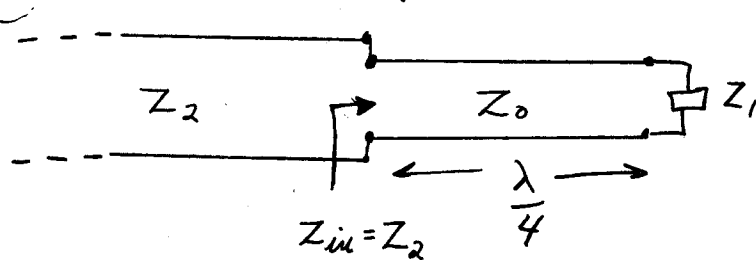


Transforme  $z$  en  $z = 1$

100% de l'énergie est transmise à la charge

(32)

I.16.1 Ligne  $\lambda/4$



But: - faire en sorte que  $Z_{in} = Z_2$

- déplacement  $\lambda/4$  = rotation de  $180^\circ$  dans l'abaque

- Considérons le produit  $\Gamma_1 \Gamma_2$

$$\Gamma_1 \Gamma_2 = \frac{Z_1 Z_2}{Z_0^2}$$

- rotation de  $180^\circ$  effective transfo. de  $\Gamma$  à  $\gamma$ ; donc

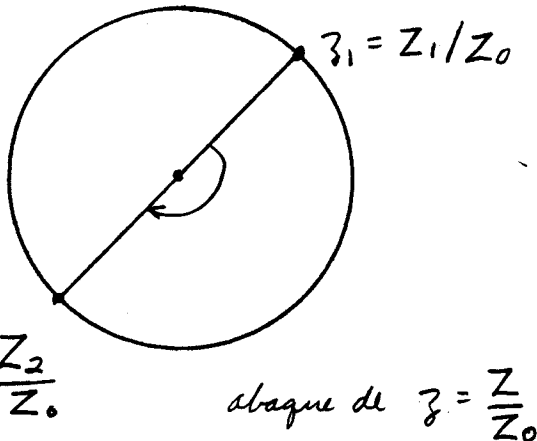
$$\Gamma_2 = \gamma_1$$

d'où  $\Gamma_1 \Gamma_2 = \Gamma_1 \gamma_1$ .

Puisque  $\Gamma_1 \gamma_1 = 1$ , on trouve

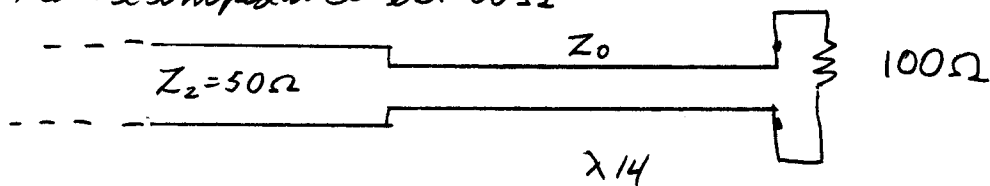
$$\Gamma_1 \Gamma_2 = 1 \rightarrow Z_0^2 = Z_1 Z_2$$

ie  $Z_0 = \sqrt{Z_1 Z_2}$



abaque de  $\Gamma = \frac{Z}{Z_0}$

Exemple: Adapter une charge de  $100\Omega$  à une ligne de transmission dont l'impédance est  $50\Omega$



$$Z_0 = \sqrt{Z_1 Z_2} = \sqrt{50 \times 100} = 100/\sqrt{2} \approx 70.7\Omega$$

Remarque:

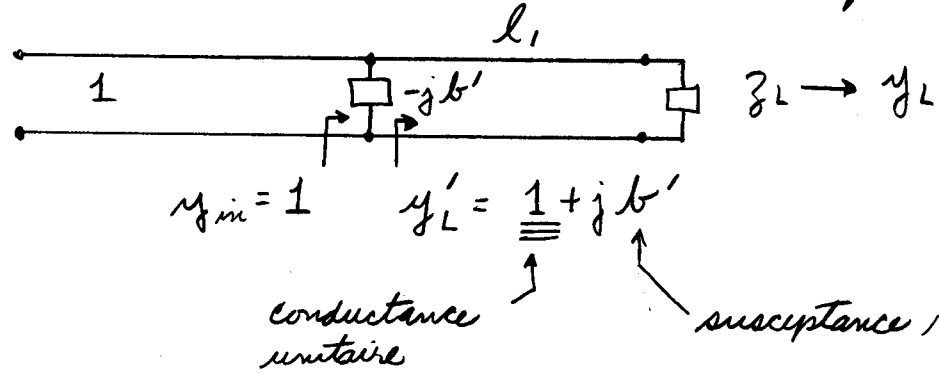
- en coax ou en bifilaire, on a peu de valeurs de  $Z_0$  standard :  $50\Omega$ ,  $75\Omega$ ,  $90\Omega$ ,  $125\Omega$ ,  $300\Omega$   
→ impossible à réaliser en général

- avec ligne micro-ruban, très facile d'ajuster  $Z_0$

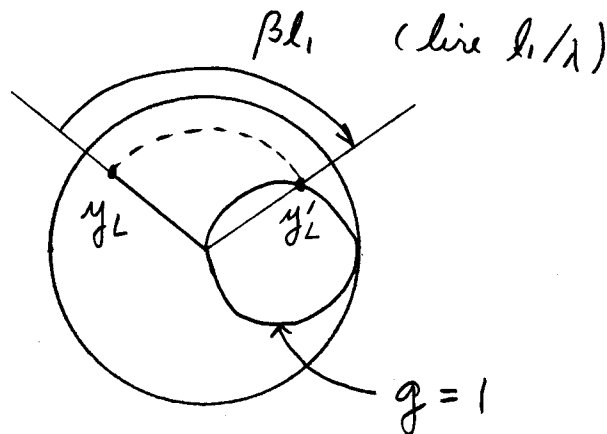
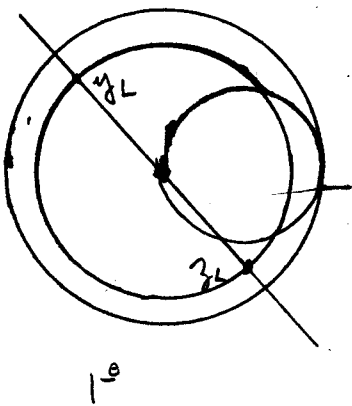
I.16.2

Adaptation avec une susceptance en parallèle

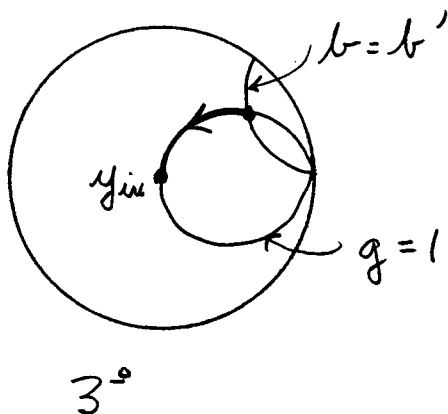
- utiliser admittances normalisées sur l'abaque



- 1° transformer  $Z_L$  en  $y_L$  si nécessaire ; rotation de  $180^\circ$
- 2° insérer bout de ligne pour obtenir conductance unitaire  
 $y_L \rightarrow y_L' = 1 + jb'$        $b' \neq b$
- 3° ajouter susceptance de  $-jb'$  en parallèle pour obtenir  
 $y_{in} = 1$



- 2° - rotation en sens horaire car  
 $\Gamma(d) = \Gamma(0) e^{-j2\beta d}$
- plusieurs solutions possibles



NB: - bout de ligne  $l_1$  et susceptance  $-jb'$  ne dissipent pas  $\rightarrow$  toute la puissance va dans  $Z_L$

## Réalisation de $-jb'$ :

i) Avec composant discret

- si  $b' > 0$ , réaliser  $-jb'$  avec inductance

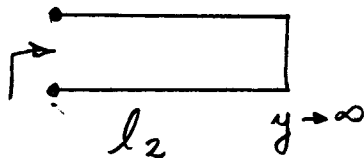
$$\text{Inductance } L \text{ en parallèle } y = \frac{1/j\omega L}{Y_0} = -\frac{j}{\omega L Y_0} = -jb' \Rightarrow L = \frac{1}{\omega Y_0 b'}$$

- si  $b' < 0$ , réaliser  $-jb'$  avec condensateur

$$\text{Condensateur } C \text{ en parallèle } y = \frac{j\omega C}{Y_0} = j(-b') \rightarrow C = \frac{-b' Y_0}{\omega}$$

ii) Avec charge distribuée

- si  $b' > 0$ , réaliser  $-jb'$  avec tronçon terminé par un court-circuit

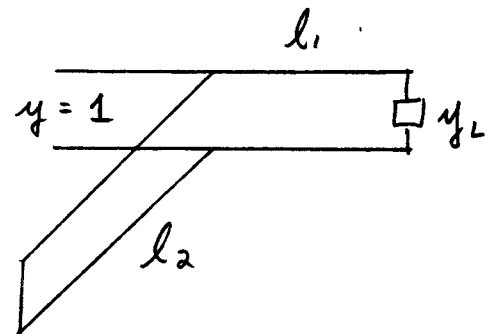
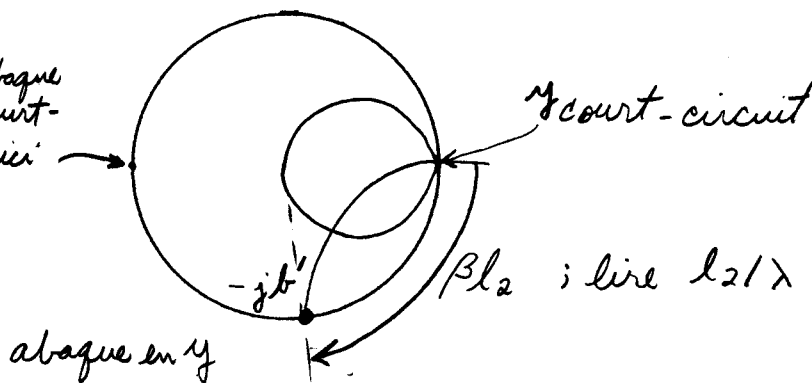


$$y_{cc} = -j \cot \beta l_2$$

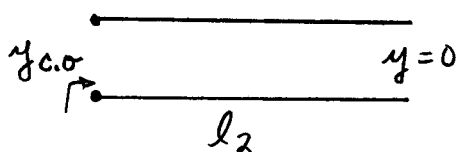
$$y_{cc} = -jb' \quad \beta l_2 = \operatorname{arccot}(b')$$

- on peut aussi trouver  $l_2/\lambda$  avec l'abaque

NB: Sur abaque en  $z$  le court-circuit est ici



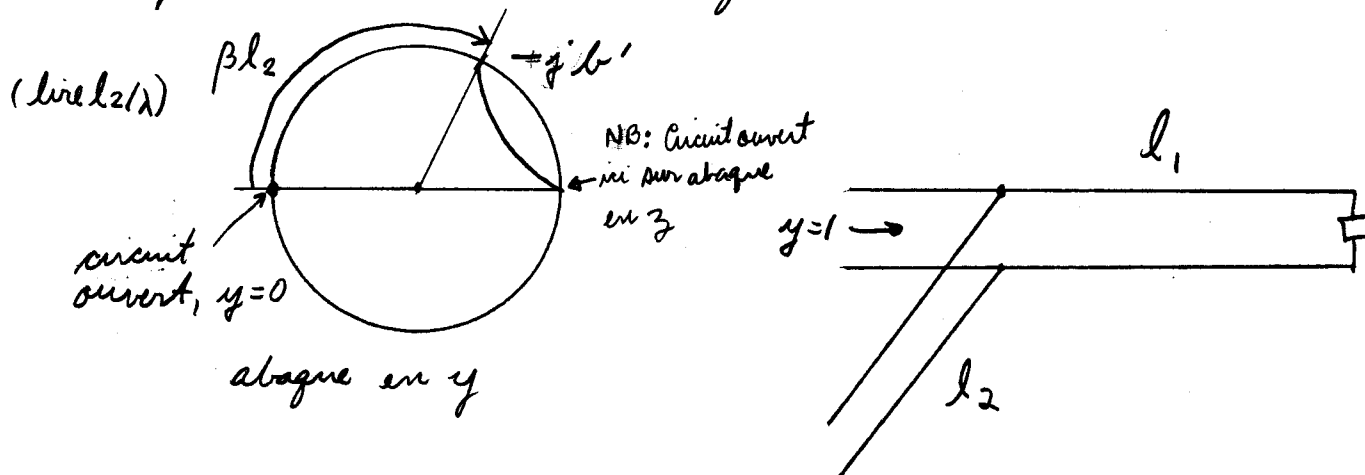
- si  $b' < 0$ , utiliser tronçon avec circuit ouvert



$$y_{c.o.} = j \tan \beta l_2 = -jb' = j(-b')$$

$$\beta l_2 = \operatorname{arctan}(-b')$$

On peut aussi utiliser l'abaque :



Voir exemple sur acetate.

### I.16.3 Adaptation avec charge série

Même principe sauf qu'on utilise abaque en  $z$

NB: tronçons série sont difficilement réalisables en pratique  $\rightarrow$  préférable d'utiliser charges localisées

